

BIOMEDICAL ART 10th

PORTFOLIO

JEONG YUJIN

Profile



정유진 / Jeong Yujin

PHONE 010.9235.6204

E-MAIL ujinj@naver.com

Education

2024.02 홍익대학교 디자인경영융합학부 전공 졸업

바이오헬스혁신융합대학 바이오메디컬디자인과 부전공 졸업

2025.03 인천가톨릭대학교 바이오메디컬아트학과 입학

Certificate

2014.02 GTQ(그래픽기술자격) 1급 취득

2023.04 컴퓨터그래픽스운용기능사 취득

Skill



Contents I

과학시각화1

- 자화상
- 모델드로잉
- 근골격 일러스트

과학시각화2

- Project1_Graphic Abstract
- Project2_Infographic

바이오메디컬콘텐츠제작1

- Lumbar vertebrae 1~5
- Stomach

Contents II

해부일러스트레이션1

- 표본 스케치
- 표본 컬러링

해부일러스트레이션2

- 조직학 일러스트

바이오메디컬콘텐츠제작2

- 수술기구 모델링
- 저널커버아트 제작

Contents I

과학시각화1

- 자화상
- 모델드로잉
- 근골격 일러스트

과학시각화2

- Project1_Graphic Abstract
- Project2_Infographic

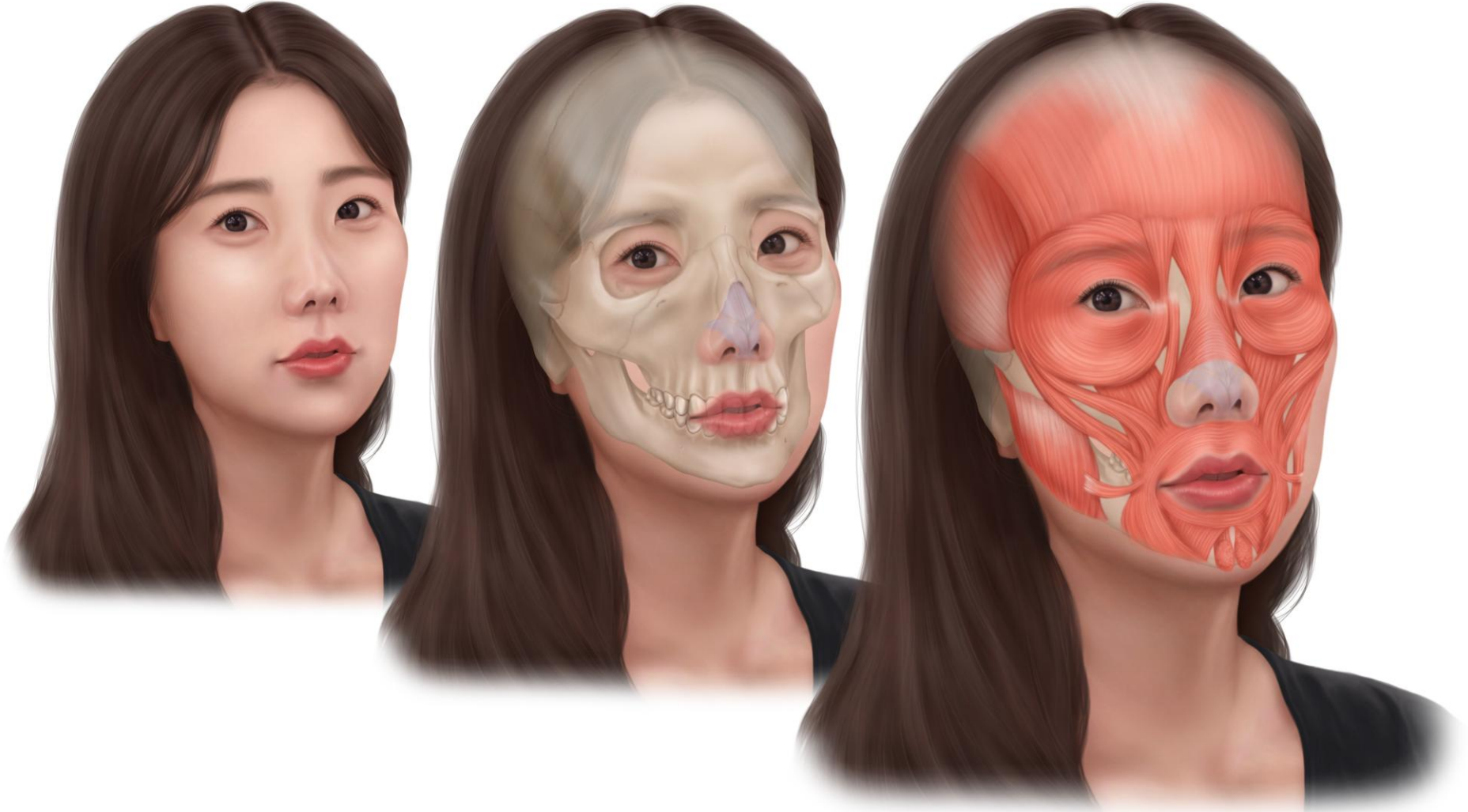
바이오메디컬콘텐츠제작1

- Lumbar vertebrae 1~5
- Stomach

자화상

Overview

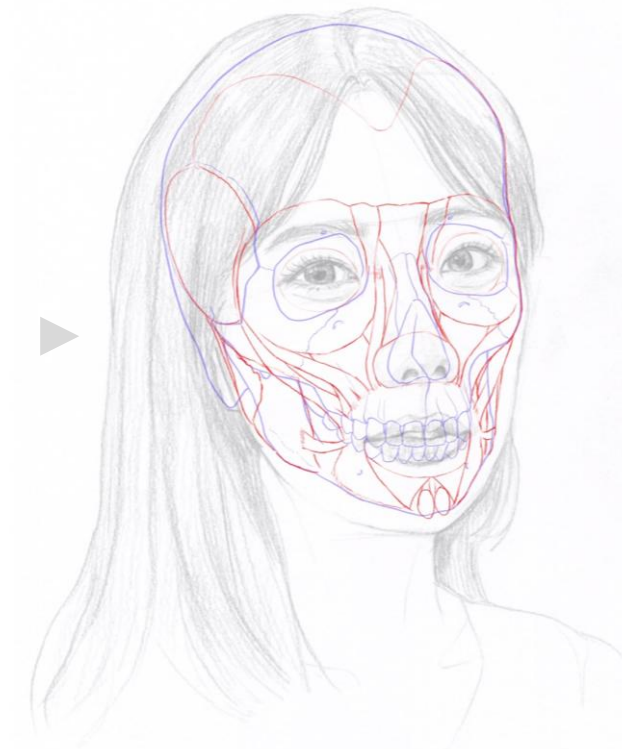
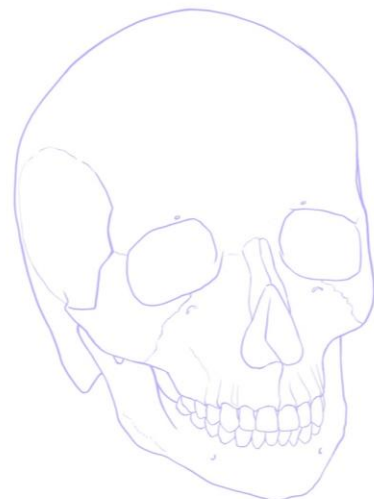
두개골과 안면 근육에 대해 학습한 후,
이를 바탕으로 자신의 얼굴을 관찰하며
해부학적 시각에서 드로잉을 진행하였다.
구조와 질감을 고려하여 머리뼈와 근육을
표현하였다.



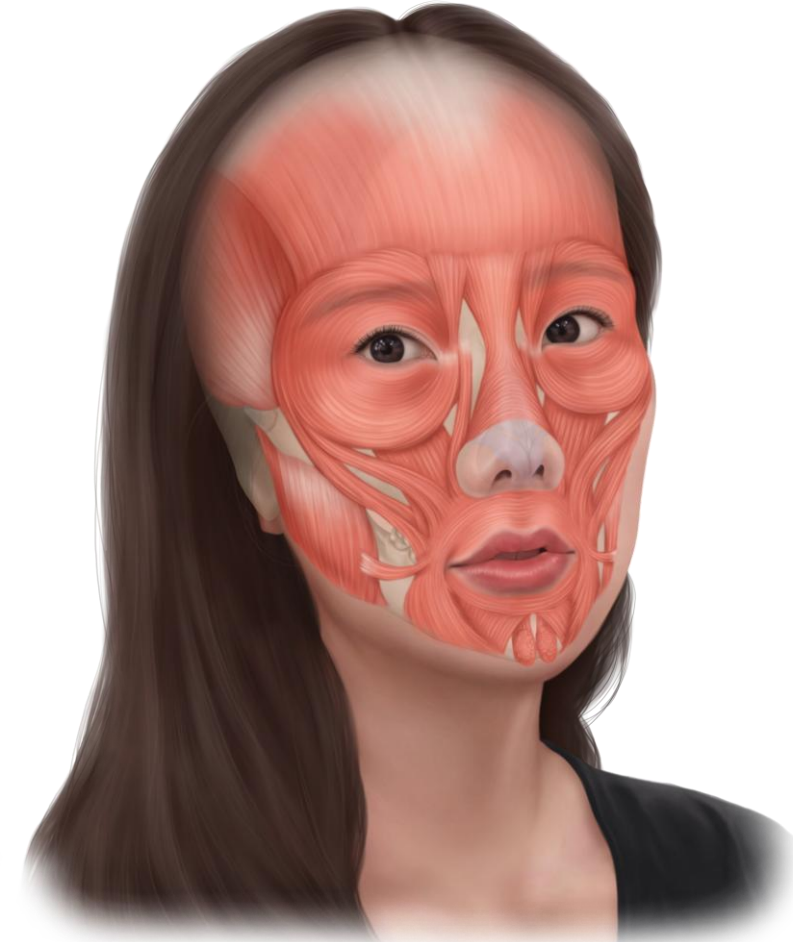
Size 297*210mm

Program Adobe Photoshop, Procreate

자화상



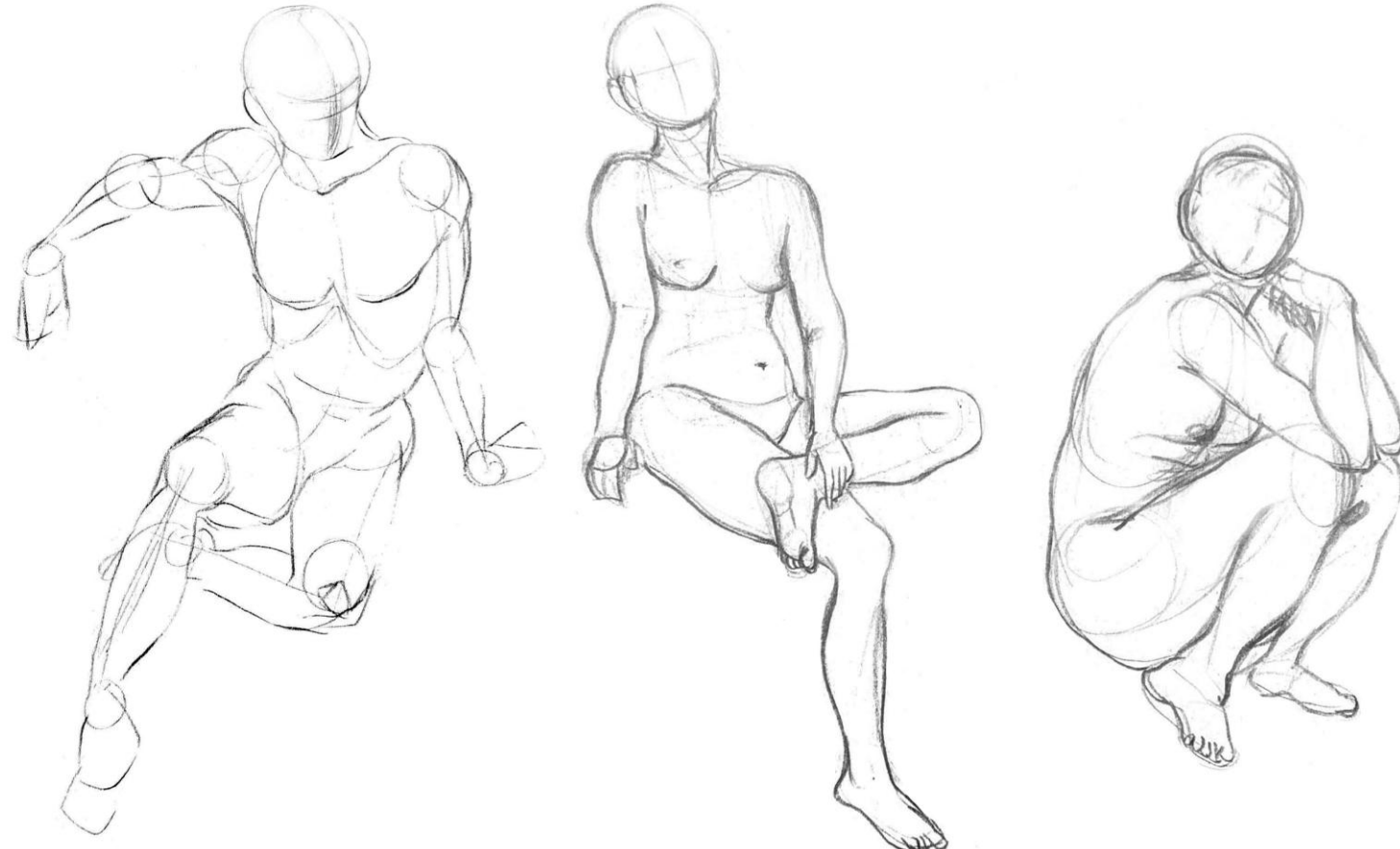
자화상



모델드로잉

Overview

누드 모델의 자세를 관찰하고 인체의
골격과 근육 형태를 고려하여 드로잉
하였다.



Size 297*210mm

Program 4B, 6B, 지우개, 종이

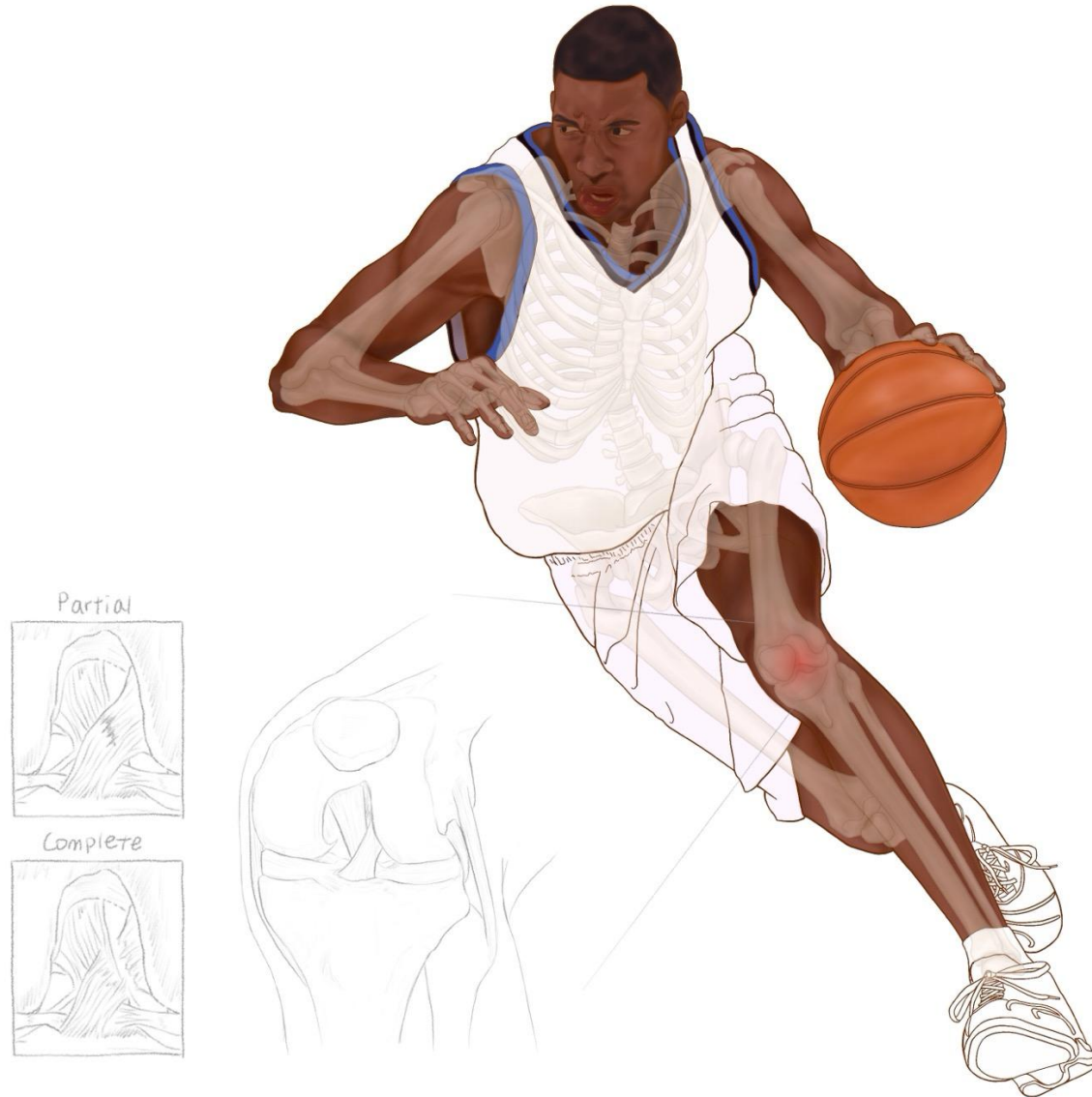
근골격계 일러스트 (작업진행중)

Overview

스포츠 활동 중 발생할 수 있는 대표적인
근골격계 질환인 전방십자인대 파열을 주제
로 시각적으로 표현하고자 했다.

Size 297*210mm

Program Zbrush, Adobe Photoshop, Adobe illustrator

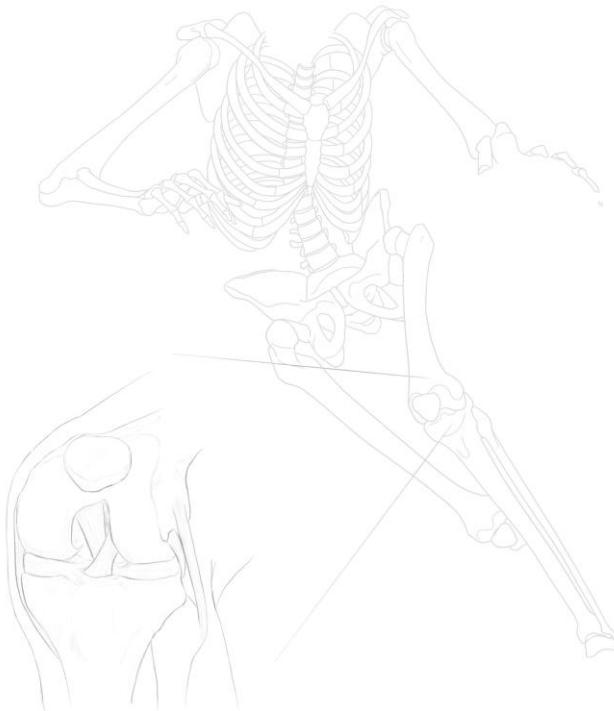
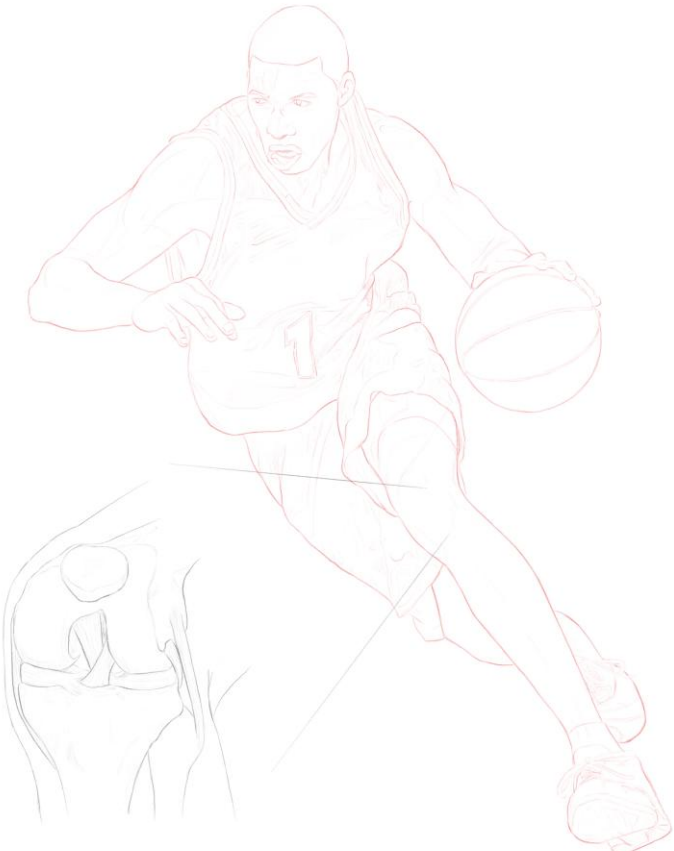


근골격계 일러스트 (작업진행중)

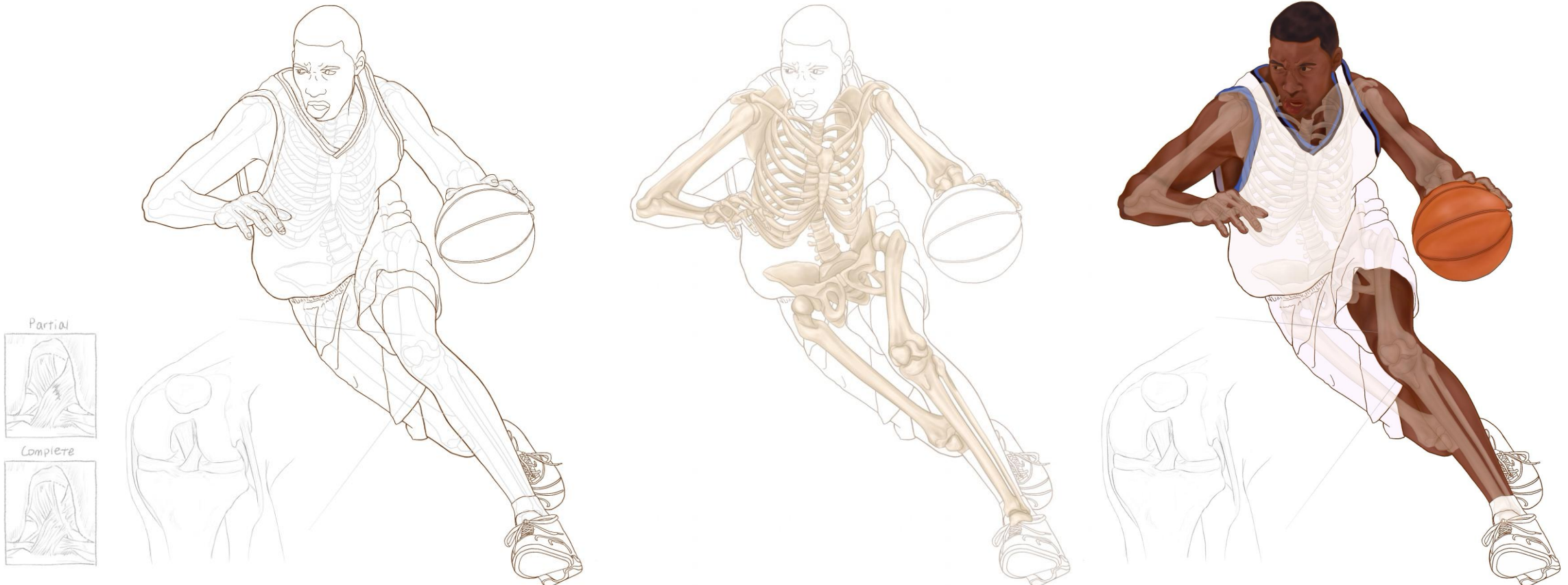
Partial



Complete



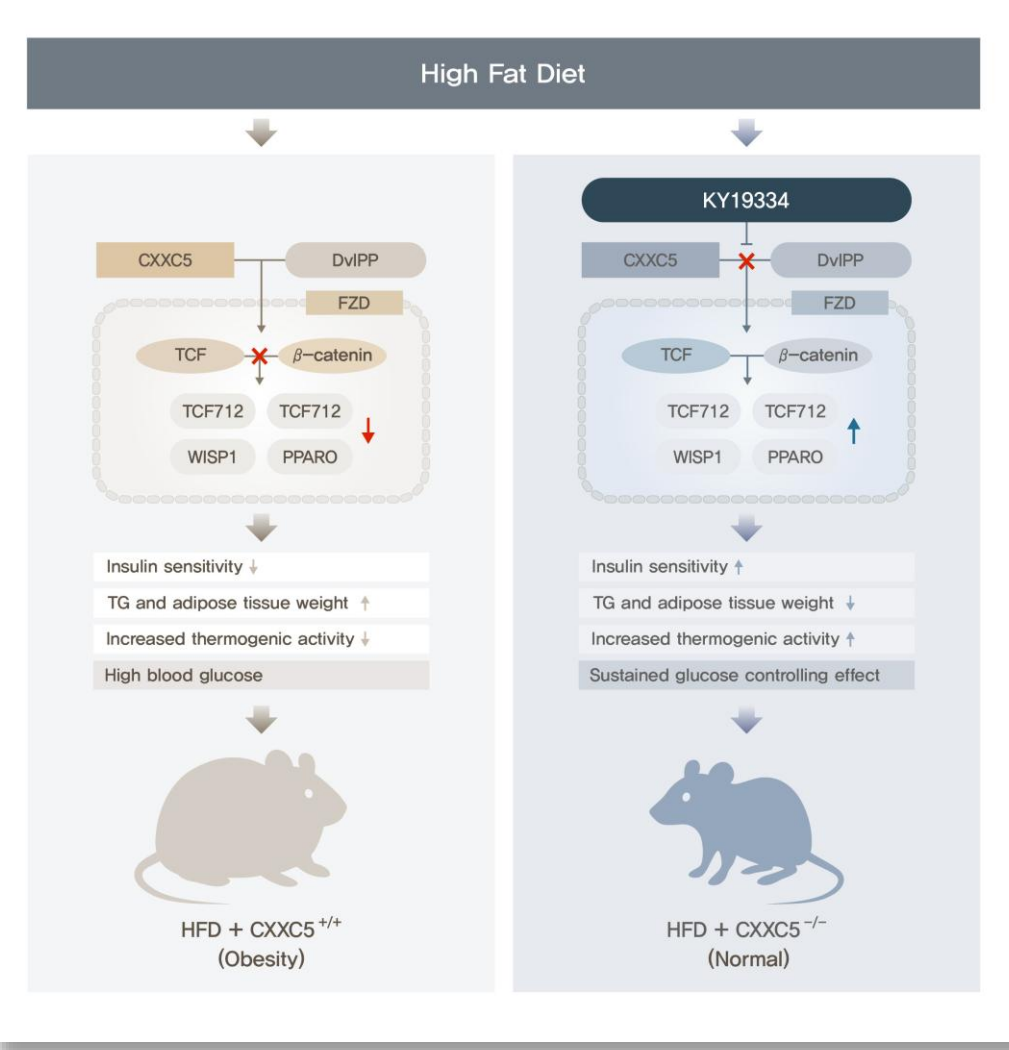
근골격계 일러스트 (작업진행중)



Project1
Graphic Abstract

Overview

비만형 당뇨병의 주요 유발 인자인 CXXC5를 억제하여 비만 관련 대사 질환을 치료하는 방법에 관한 연구 논문을 시각화하였다.



Size 875*875mm

Program Adobe illustrator

Project1

Graphic Abstract

Received: 13 October 2021 | Revised: 28 January 2022 | Accepted: 7 February 2022

DOI: 10.1002/cerm.342

RESEARCH ARTICLE

Clinical and Translational Medicine
WILEY

Inhibition of CXXC5 function reverses obesity-related metabolic diseases

Seol Hwa Seo¹ | Eunhwan Kim¹ | Soung-Hoon Lee² | Yong-ho Lee³ |
Dai Hoon Han⁴ | Hyesun Go⁵ | Je Kyung Seong⁵ | Kang-Yell Choi^{1,2,3} 

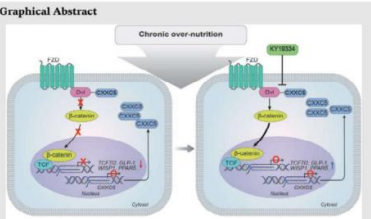
¹Department of Biotechnology, College of Life Science and Biotechnology, Yonsei University, Seoul, Republic of Korea
2CK Regeon Inc., Seoul, Republic of Korea

³Department of Internal Medicine, Yonsei University, Seoul, Republic of Korea

⁴Department of Surgery, Yonsei University College of Medicine, Seoul, Republic of Korea

⁵Korea Mouse Phenotyping Center, Seoul National University, Seoul, Republic of Korea

Correspondence
Kang-Yell Choi, Department of Biotechnology, College of Life Science and Biotechnology, Yonsei University, Seoul, Republic of Korea.
Email: kychoi@yonsei.ac.kr



- CXXC5 is abundantly expressed in the adipose tissues from obese-T2DM patients.
- Ablation of Cxxc5 reduces obesity-related metabolic diseases.
- KY1934, a small molecule blocking CXXC5-Dvl binding, reverses obesity-related metabolic diseases with adult tissue remodelling.
- Effects on glycaemic control with KY1934 prolong during post-treatment.

1 | 소개

제2형 당뇨병(T2DM)은 주요 대사 질환 중 하나입니다. 현재 임상적으로 사용 가능한 제2형 당뇨병 치료제로는 살포닐우레아, 글루카고 유산 펫타이드-1(GLP-1) 작용제, 나이트립-포도당 수송 단백질 2(SGLT2) 억제제, 비옥시즘 층식인자 활성화 수용체 억제(PPAR) 등이 있습니다. 감마 작용제, 디클리릴펩타이드 제4(DPP4) 억제제 및 비구아이드는 혜장, 장, 근육 및 간과 같은 말초 인슐린 표적 조직에 작용하여 혈당 수치를 조절합니다.^{1,2} 최근 치료법이 발전했지만, 이러한 약물의 포도당 조절 효과는 일시적입니다. 따라서 환자는 평생 매일 이 약물을 치료 받아야 합니다.³

증거하는 증거는 (Wnt/β-카테닌 신호전달)은 병리학적 상태로 인해 상상된 조직에 중대한 역할을 합니다.⁴⁻⁶ 특히 Wnt/β-카테닌 신호 전달 표적 유전자, 예를 들어 전사 인자 7과 같은 2[TCF7L2] 유도 유전자의 단백질 1 (위스피), GLP-1/Gαs 과산화물 증식인자 활성화 수용체 멀티(PPARs), 비만과 당뇨병에 중요한 역할을 합니다.⁷⁻⁹ 특히 TCF7L2는 β-세포 증식과 분화를 자극하여 세포 재생을 촉진하고, 웨도에서 인슐린 분비를 개선합니다.¹⁰ 또한, 새로운 아미포타민 WISP1은 시장 소식에서 시장 영웅성 사이토카인을 억제하여 항지방 성장 활동을 막개하고, 이는 지방 조직 리모델링으로 이루어집니다.¹¹

Dishevelled(Dvl) 바인딩을 통해 기능합니다.^{14,15} 대사 질환의 원동력인 치료제 CXXC5의 기능적 역할은 HFD를 섭취한 비만 마우스의 지방 조직과 간 조직에서 Cxxc5의 유도를 통해 나타났습니다. Cxxc5-^{-/-} HFD를 섭취한 쥐는 비만과 비만 관련 인슐린 저항성을 극복했습니다.

비만 및 당뇨병 치료의 표적으로서 Cxxc5의 강제적 역할을 확인하기 위해 우리는 Wnt/β-카테닌 신호전달 표적 유전자에서 CXXC5의 세포질 기능을 특이적으로 방해하는 소분자 KY19334를 경구 투여했습니다. β-CXXC5-Dvl 단백질-단백질 상호작용(PPI) 억제제를 통한 카테닌 경로는 그리고 대사에 미치는 영향을 조사했습니다. HFD를 먹인 경우 Cxxc5-^{-/-} HFD를 먹인 쥐 Cxxc5-^{-/-} KY19334를 투여한 마우스는 비만, 인슐린 저항성 및 기타 당뇨병 관련 표현형과 같은 비정상적인 대사 표현형의 감소를 보았습니다. 제2형 당뇨병 환자에게 차주 처방되는 시티글리신이라는 달愫(KY19334)은 고지혈증(HFD) 마우스에서 공복 혈당 조절에 지속적인 효과를 보였습니다. KY19334의 혈당 조절 효과와 카테닌 경로 조절에 대한 차이점은 혈당을 통해 나타났습니다.¹¹ 대사 질환 표현형에 대한 KY19334의 치료 효과는 억제된 Wnt/β-카테닌 경로는 비정상적으로 과발현된 Cxxc5의 기능을 차단하여 조절됩니다.

본원적으로 CXXC5-Dvl PPI 억제제를 통한 혈당 수치의 장기 조절로 대사 표현형을 회복시키는 것은 인슐린 저항성과 대사 질환을 치료하는 잠재적인 접근 방식을 제공합니다.

2 | 재료 및 방법

2.1 | 인간 내장 지방 조직 표본

발행 패턴을 모니터링하면서 비만 관련 당뇨병 발생 과정에서 -catenin과 CXXC5의 발현을 확인하기 위해, 수술받은 암 환자의 간 또는 대장에서 5mm 생검樣체를 취集했습니다. 대상자의 연령은 43세에서 82세 사이였으며, 체질량지수(BMI)는 17kg/m²에서 32kg/m² 사이였습니다. 개인은 BMI와 당뇨병 등급 (남성, BMI < 25 및 당뇨병 등급 = 0, 1, 2)에 따라 4개 그룹으로 나뉘었습니다. (i) 남성, BMI < 25, 당뇨병 = 0; (ii) 비만, BMI > 25, 당뇨병 = 0 또는 1; (iii) 남성, BMI < 25, 당뇨병 = 2 및 (iv) 비만, BMI > 25, 당뇨병 = 2. 환자 샘플을 사용한 실험은 세브란스 병원 임상 연구소의 기관 검토 위원회에서 승인을 받았으며 헬싱키 원칙 선언에 따라 수행되었습니다.

2.2 | CXXC5형 아연 손가락 단백질 5(CXXC5)는 Wnt/β-카테닌 경로에 대한 조절자로 확인되었습니다.

Thesis topic

이 연구는 CXXC5라는 단백질을 억제함으로써 비만과 관련된 대사 질환을 치료할 수 있는 가능성을 탐구하고 있다.

Graphic Abstract 제작 기획

○ Subtitle

KY19334의 CXXC5 기능 억제로 비만 관련 대사질환 치료 연구

○ Purpose

비만 관련 대사 질환 치료에서 CXXC5가 새로운 타겟이 될 수 있음을 제안하고자 함.

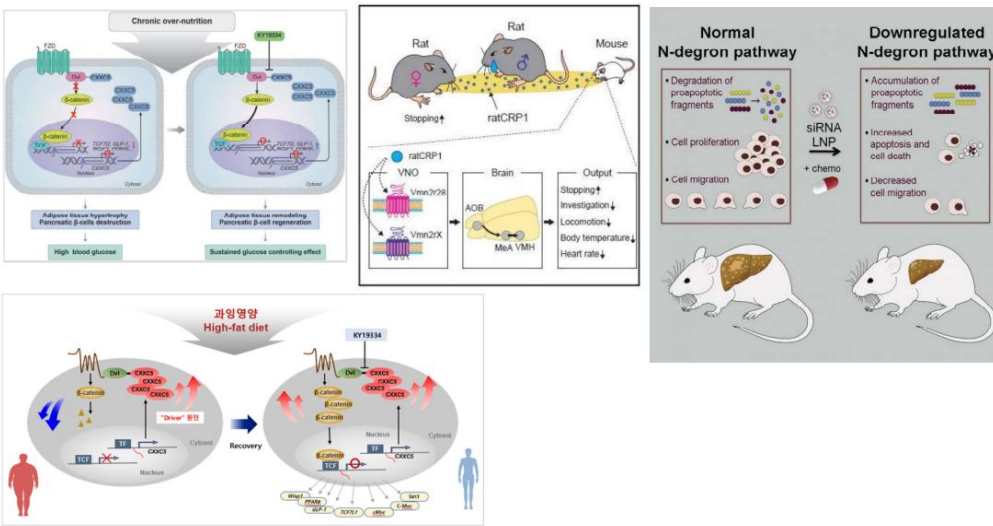
○ Target

의료인, 연구원 등 전문가

Project1

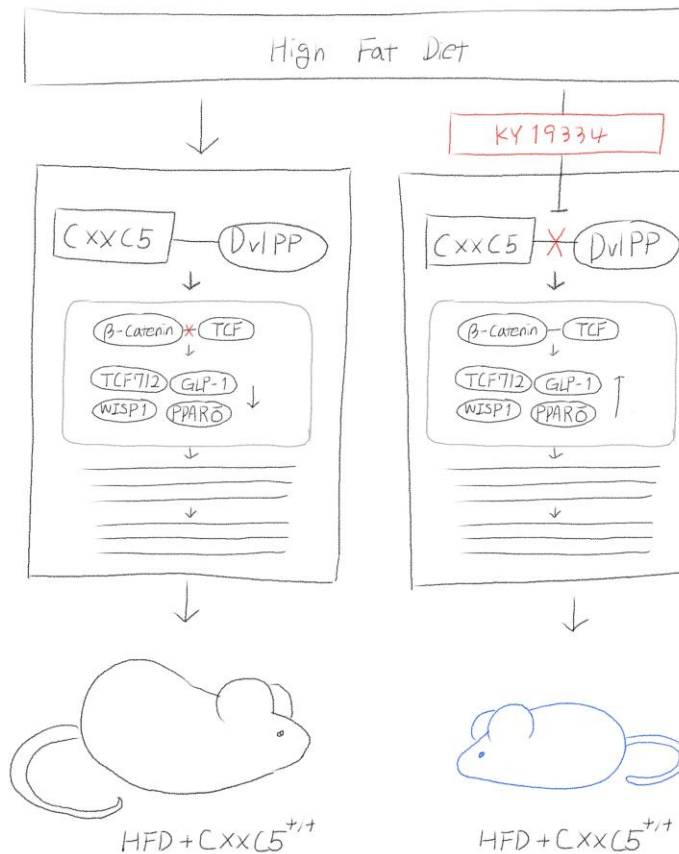
Graphic Abstract

Reference



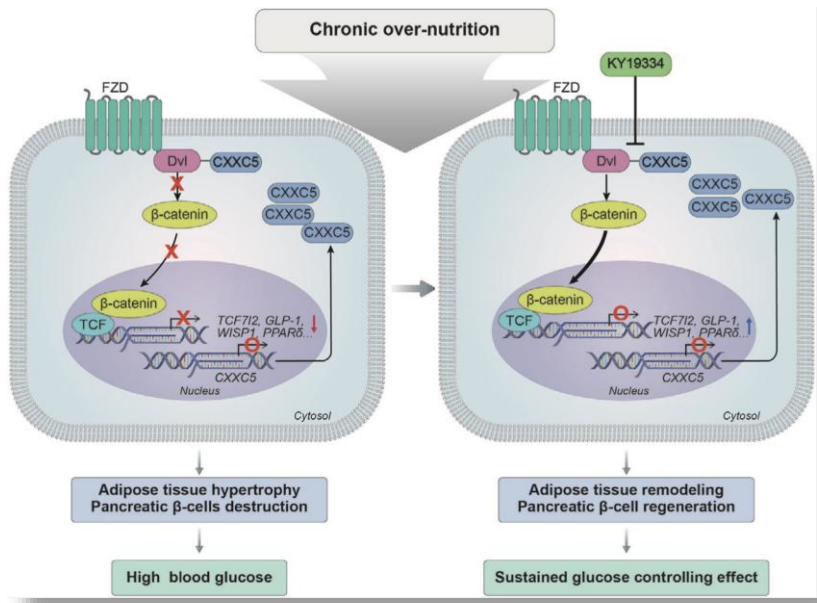
Sketch

(2)

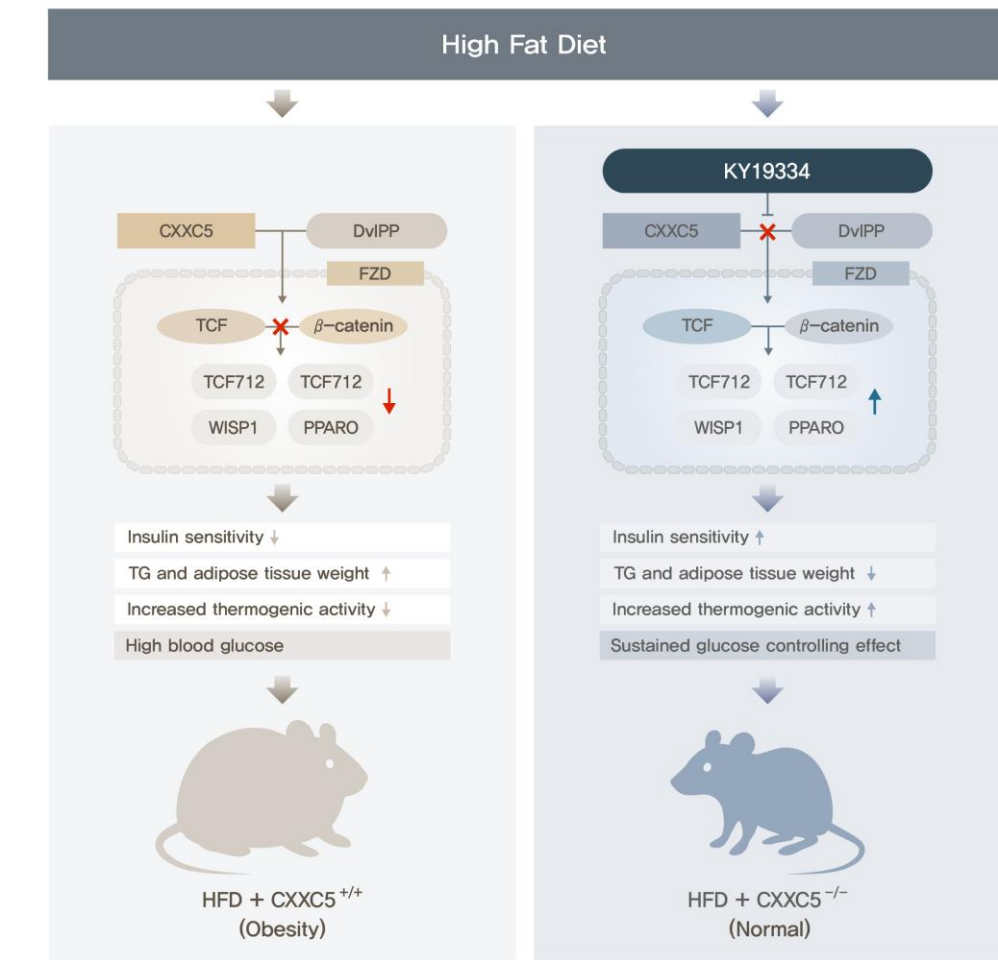


Project1
Graphic Abstract

Before



After



Project2

Infographic

Overview

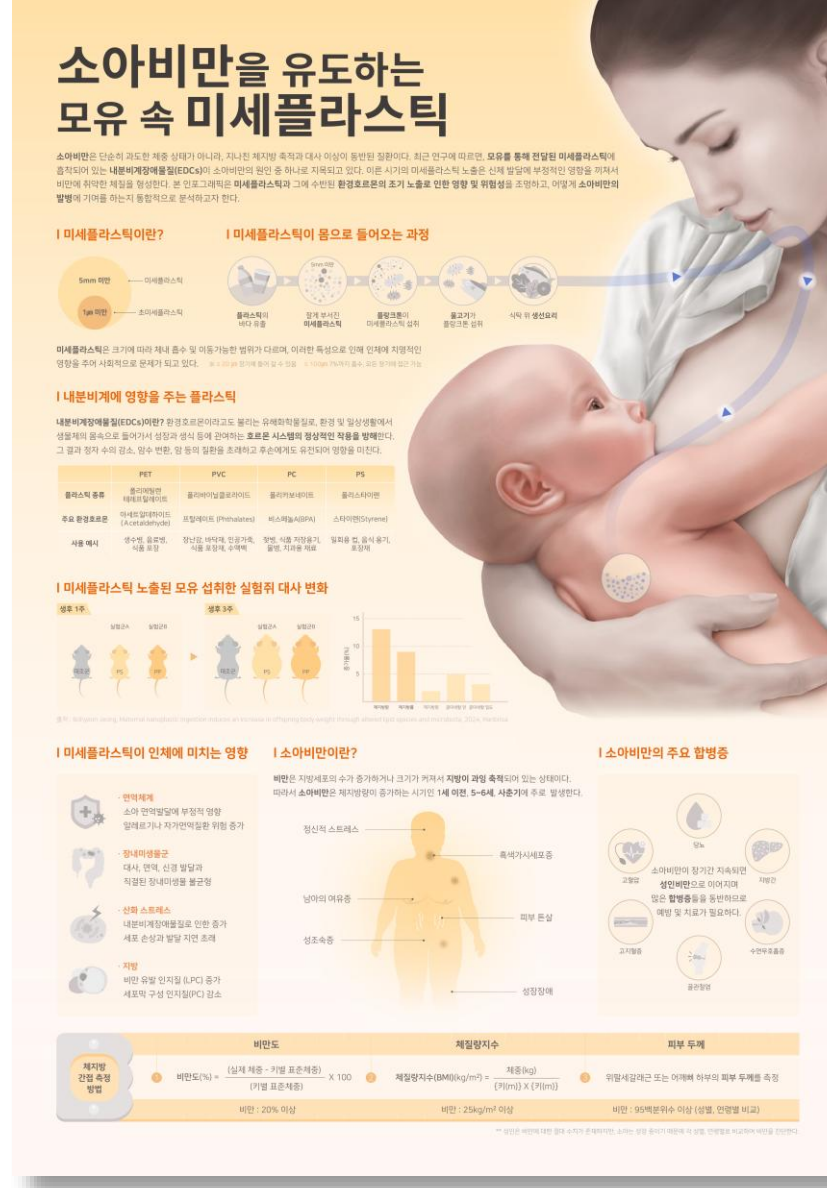
소아비만을 유발할 수 있는 모유 속 미세
플라스틱에 대한 인포그래픽을 제작하였다.
미세플라스틱 속 내분비계장애물질의 조기
노출이 어떻게 소아비만을 유도하게 되는지
통합적으로 분석하여 시각적으로 표현하였다.

Team project

3인 프로젝트(정유진, 김예지, 이하은)

Size 420*297mm

Program Adobe Photoshop, Adobe illustrator, Procreate



Project2 Infographic

Environment International 185 (2024) 108522

Contents lists available at ScienceDirect

Environment International

journal homepage: www.elsevier.com/locate/envint

Full length article

Maternal nanoplastic ingestion induces an increase in offspring body weight through altered lipid species and microbiota

Bohyeon Jeong^a, Ji-Sun Kim^b, A Ra Kwon^c, Jangjae Lee^{c,d}, Subin Park^b, Jahong Koo^{a,e}, Wang Sik Lee^e, Jeong Yeob Baek^e, Won-Ho Shin^e, Jung-Sook Lee^{b,f}, Jinyoung Jeong^{c,g}, Won-Kyu Kim^e, Cho-Rok Jung^{c,h}, Nam-Sook Kim^c, Sung-Hee Cho^{c,i}, Da Yong Lee^{c,j}

^a Rain Disease Research Center, Korea Research Institute of Bioscience and Biotechnology (KRIBB), 125 Gwahak-ro, Yuseong-gu, Daejeon 34141, South Korea

^b Korean Collection for Type Cultures, Korea Research Institute of Bioscience and Biotechnology (KRIBB), Daejeon, 56212, South Korea

^c Chemical Analysis Center, Korea Research Institute of Chemical Technology (KRICT), Daejeon 34114, South Korea

^d Department of Chemistry, Korea University, Seoul 02841, South Korea

^e KRIBB School, Korea University of Science and Technology (UST), Daejeon, South Korea

^f Environmental Disease Research Center, Korea Research Institute of Bioscience and Biotechnology (KRIBB), 125 Gwahak-ro, Yuseong-gu, Daejeon 34141, South Korea

^g Department of Predictive Toxicology, Korea Institute of Toxicology, Daejeon 34114, South Korea

^h Metabolic Regulation Research Center, Korea Research Institute of Bioscience and Biotechnology (KRIBB), 125 Gwahak-ro, Yuseong-gu, Daejeon 34141, South Korea

ⁱ Stem Cell Convergence Research Center, Korea Research Institute of Bioscience and Biotechnology (KRIBB), 125 Gwahak-ro, Yuseong-gu, Daejeon 34141, South Korea

ARTICLE INFO

Keywords: Nanoplastics, Pediatric obesity, Environmental obesogens, Lipid metabolism, Lipid cycle, Microbiota

ABSTRACT

The rapidly increasing prevalence of obesity and overweight, especially in children and adolescents, has become a serious global issue. Although the genetic and environmental factors for adult obesity and overweight have been identified, the problem has not been solved. In this study, we examined whether environmental nanoplastic (NP) pollutants can act as environmental obesogens using mouse models exposed to NPs derived from polystyrene and polypropylene, which are abundant in the environment. We found abnormal weight gain in the progeny until 6 weeks of age following the oral administration of NPs to the mother during gestation and lactation. Through a series of experiments using multi-omic analyses, we have demonstrated that NP-induced weight gain is caused by alterations in the lipid composition (lysophosphatidylcholine/phosphatidylcholine ratio) of mammary breast milk, and we got microbiota distribution of the progeny. These data indicate that environmental NPs can act as obesogens in childhood.

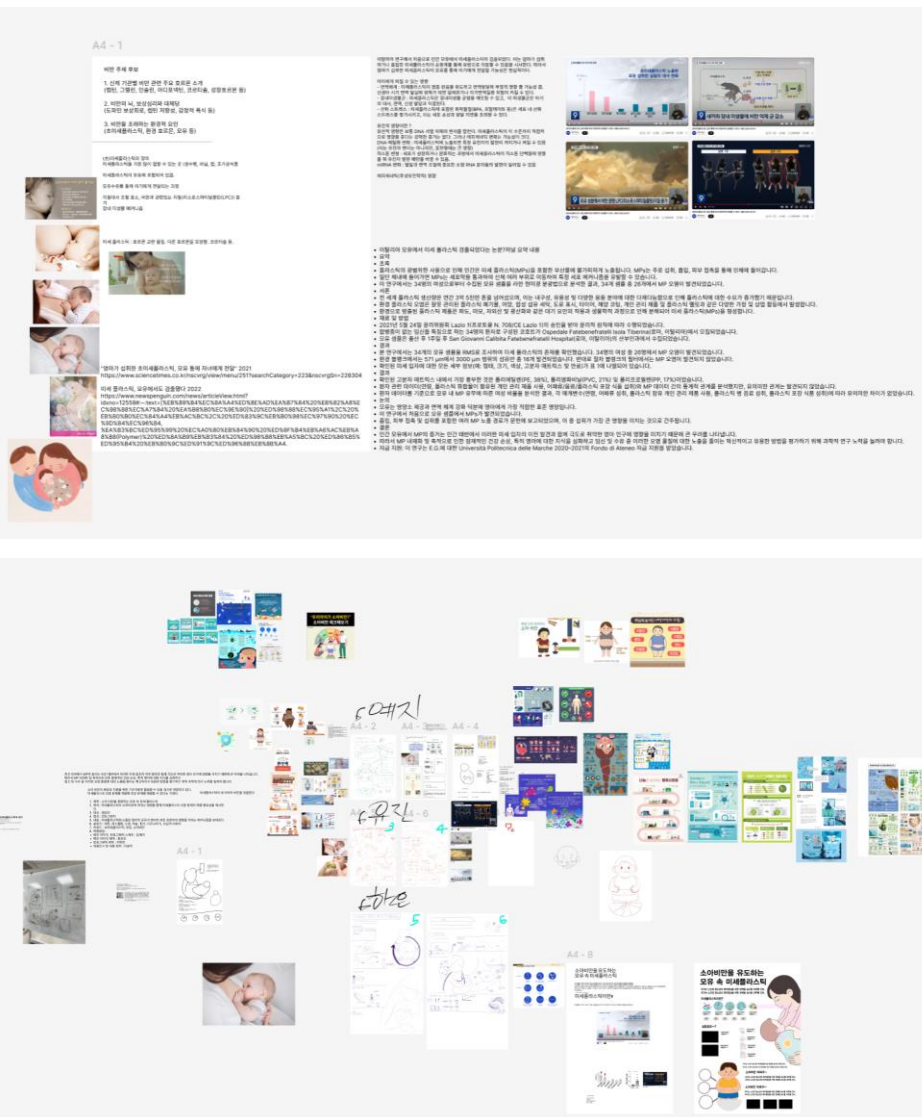
1. Introduction

Obesity has become a major health problem worldwide because it threatens health by predisposing toward a variety of severe comorbidities, such as diabetes, fatty liver, hypertension, and cardiovascular diseases(Lim and Boster, 2022; Pi-Sunyer, 1999). The prevalence of overweight and obesity has nearly tripled since 1975, and approximately 39 % of the world's population (more than 1.9 billion adults) are now considered to have overweight. Furthermore, 58 % of the world's adults (approximately 3.3 billion) will have overweight, with a body mass index (BMI) $\geq 25 \text{ kg/m}^2$, by 2030. More importantly, the prevalence of overweight and obesity in children and adolescents aged 5–19 years increased from 4 % in 1975 to > 28 % in 2016(Hinkelstein et al., 2012). Furthermore, children who develop pediatric obesity subsequently have a prevalence of obesity of 70 % in adulthood because their pediatric obesity persists, with increases in both the size and the number of adipocytes, whereas adult obesity involves adipocyte hypertrophy, but not hyperplasia(Spalding et al., 2008; Simmonds et al., 2016).

Among the reasons for the rapid increase in the prevalence of obesity, environmental factors are particularly important as the issue of environmental pollution has recently become critical. In this context, a subset of environmental chemicals that act as endocrine disruptors, collectively referred to as 'obesogens'(Heindel et al., 2022), are considered to be an important cause of weight gain. Of the various

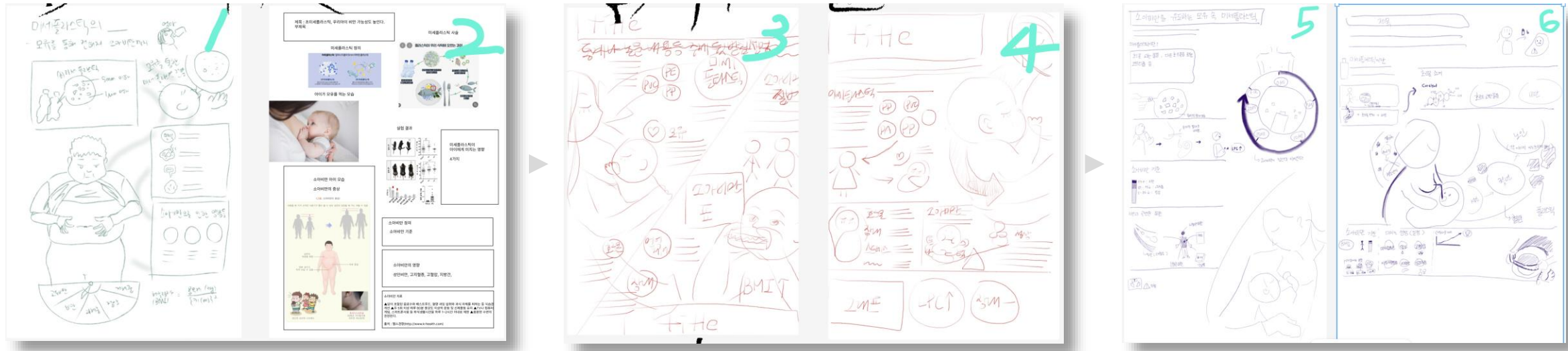
참고 문헌 (미세플라스틱의 모유 성분 변화 및 이로 인한 자손의 과체중 유발 기전 규명)

Bohyeon Jeong, Maternal nanoplastic ingestion induces an increase in offspring body weight through altered lipid species and microbiota, 2024, Hanbita



Project2 Infographic

Layout sketch



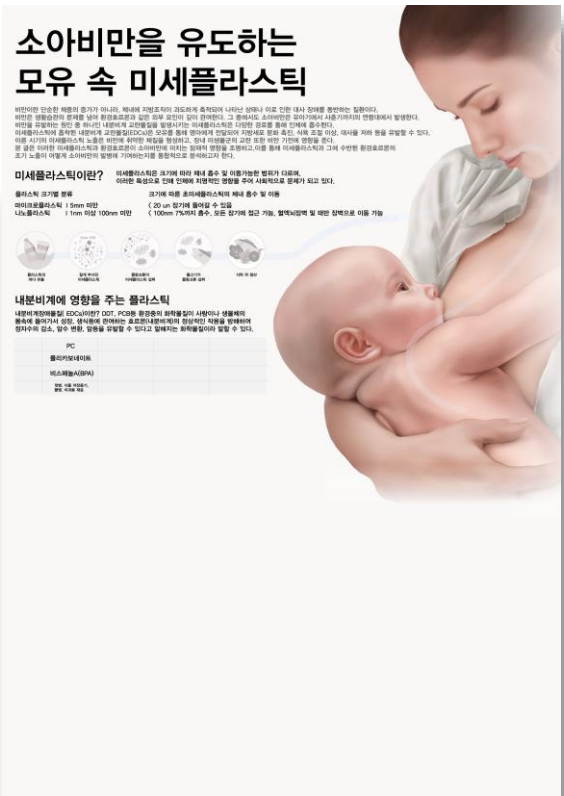
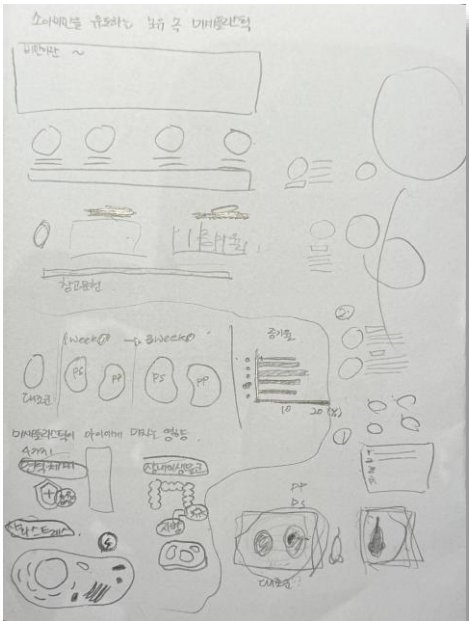
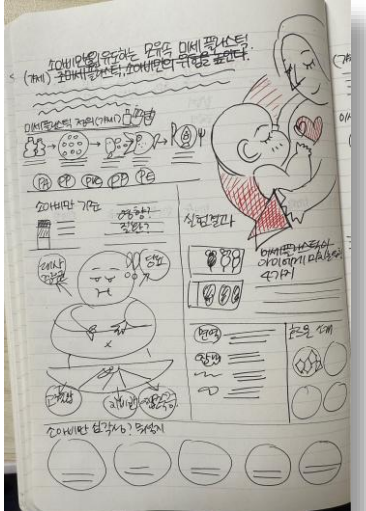
Project2
Infographic



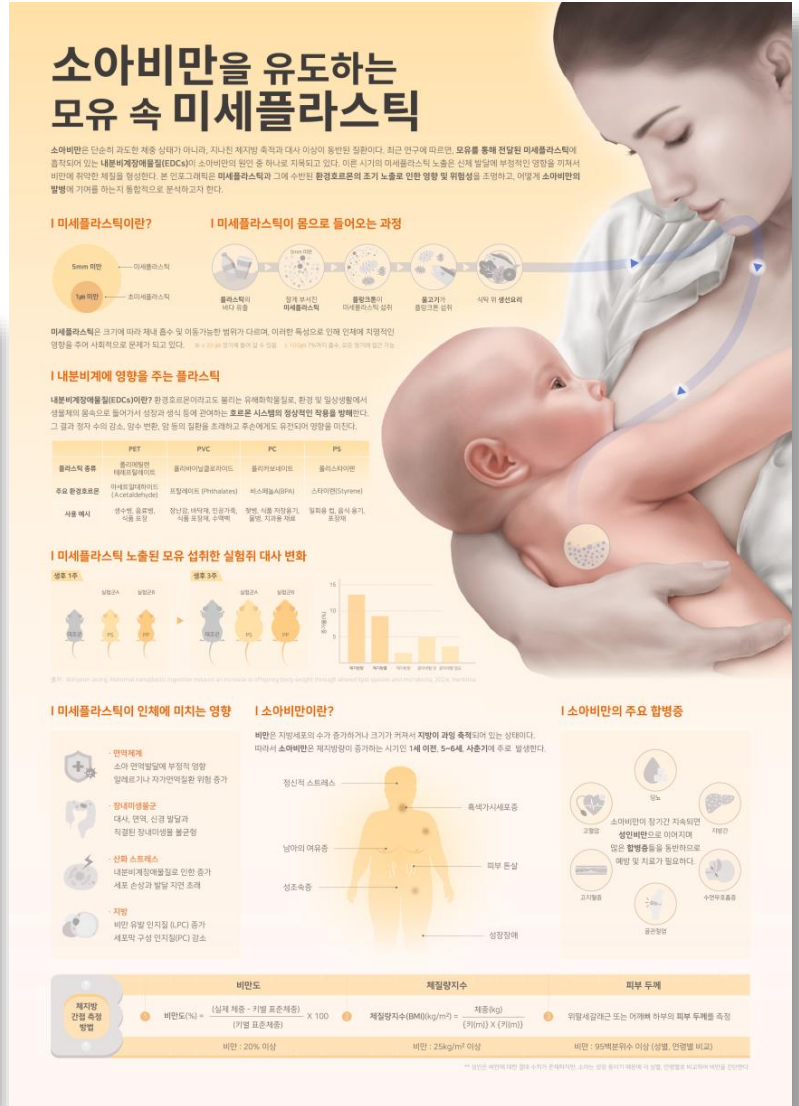
Project2

Infographic

Sketch



Final



Project2 Infographic

Overview

상단 타이틀과 내용은 인포그래픽이 담고 있는 전체적인 내용을 요약하여 작성하였다.

인포그래픽은 위에서 아래, 좌에서 우 방향으로 시선이 흐를 수 있도록 레이아웃을 배치하였다. 내용의 흐름은 미세플라스틱의 정의와 내분비계에 영향을 주는 플라스틱에 대해 설명하는 흐름으로 구성하였다.

우측에는 메인 이미지를 실사화하여 제작하였고, 미세플라스틱이 아이의 몸으로 이동하는 과정을 화살표로 표현하였다.

Team project

3인 프로젝트(정유진, 김예지, 이하은)

Size 420*297mm

Program Adobe Photoshop, Adobe illustrator, Procreate

소아비만을 유도하는 모유 속 미세플라스틱

소아비만은 단순히 과도한 체중 상태가 아니라, 지나친 체지방 축적과 대사 이상이 동반된 질환이다. 최근 연구에 따르면, 모유를 통해 전달된 미세플라스틱에 흡착되어 있는 **내분비계장애물질(EDCs)**가 소아비만의 원인 중 하나로 지목되고 있다. 이론 시기의 미세플라스틱 노출은 신체 발달에 부정적인 영향을 끼쳐서 비만에 취약한 체질을 형성한다. 본 인포그래픽은 미세플라스틱과 그에 수반된 환경호르몬의 조기 노출로 인한 영향 및 위험성을 조명하고, 어떻게 소아비만의 발병에 기여를 하는지 통합적으로 분석하고자 한다.

I 미세플라스틱이란?

5mm 미만
— 미세플라스틱
1μm 미만
— 초미세플라스틱

I 미세플라스틱이 몸으로 들어오는 과정

플라스틱의 바다 유출
잘게 부서진 미세플라스틱
플랑크톤이 미세플라스틱 섭취
물고기가 플랑크톤 섭취
식탁 위 생선요리

미세플라스틱은 크기에 따라 체내 흡수 및 이동 가능한 범위가 다르며, 이러한 특성으로 인해 인체에 치명적인 영향을 주어 사회적으로 문제로 되고 있다. ※ ≤ 20 μm 장기에 들어갈 수 있음 ≤ 100μm 7%까지 흡수, 모든 장기에 접근 가능

I 내분비계에 영향을 주는 플라스틱

내분비계장애물질(EDCs)이란? 환경호르몬이라고도 불리는 유해화학물질로, 환경 및 일상생활에서 생물체의 몸속으로 들어가서 성장과 생식 등에 관여하는 호르몬 시스템의 정상적인 작용을 방해한다. 그 결과 정자 수의 감소, 암수 변환, 암 등의 질환을 초래하고 후손에게도 유전되어 영향을 미친다.

	PET	PVC	PC	PS
플라스틱 종류	폴리에틸렌 테레프탈레이트	폴리바이닐클로라이드	폴리카보네이트	폴리сти라렌
주요 환경호르몬	아세트알데하이드 (Acetaldehyde)	프탈레이트 (Phthalates)	비스페놀A(BPA)	스타이렌(Styrene)
사용 예시	생수병, 음료병, 식품 포장	장난감, 바닥재, 인공가죽, 식품 포장재, 수액백	젖병, 식품 저장용기, 물병, 치과용 재료	일회용 컵, 음식 용기, 포장재

Project2

Infographic

Overview

하단에는 참고문헌인 논문의 내용을 발췌하여 해당 논문의 실험내용의 일부를 시각화하여 표현하였다.

최종적으로는 미세플라스틱이 인체에 미치는 영향과 이로 인해 유발되는 소아비만에 대해 설명하는 내용을 담은 인포그래픽을 배치하여 결론으로 도출하였다.

Team project

3인 프로젝트(정유진, 김예지, 이하은)

Size 420*297mm

Program Adobe Photoshop, Adobe illustrator, Procreate

사용 예시
생수병, 음료병,
식품 포장
장난감, 바닥재, 인공가죽,
식품 포장재, 수액백
젖병, 식품 저장용기,
물병, 치과용 재료
일회용 컵, 음식 용기,
포장재

I 미세플라스틱 노출된 모유 섭취한 실험쥐 대사 변화



I 미세플라스틱이 인체에 미치는 영향



- 면역체계
소아 면역발달에 부정적 영향
알레르기나 자가면역질환 위험 증가



- 장내미생물군
대사, 면역, 신경 발달과
직결된 장내미생물 불균형



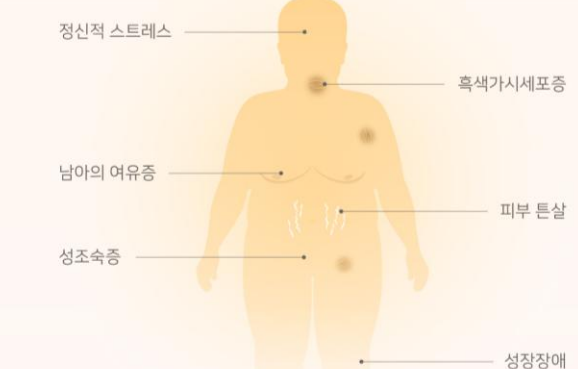
- 산화 스트레스
내분비계장애물질로 인한 증가
세포 손상과 발달 지연 초래



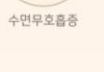
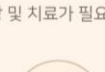
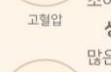
- 지방
비만 유발 인지질 (LPC) 증가
세포막 구성 인지질(PC) 감소

I 소아비만이란?

비만은 지방세포의 수가 증가하거나 크기가 커져서 지방이 과잉 축적되어 있는 상태이다.
따라서 소아비만은 체지방량이 증가하는 시기인 1세 이전, 5~6세, 사춘기에 주로 발생한다.



I 소아비만의 주요 합병증



체지방 간접 측정 방법	비만도	체질량지수	피부 두께
① 비만도(%) = $\frac{(실제 체중 - 키별 표준체중)}{(키별 표준체중)} \times 100$	비만 : 20% 이상	② 체질량지수(BMI)(kg/m ²) = $\frac{\text{체중}(kg)}{\{\text{키}(m)\} \times \{\text{키}(m)\}}$	비만 : 25kg/m ² 이상
			③ 위팔세갈래근 또는 어깨뼈 하부의 피부 두께를 측정
			비만 : 95백분위수 이상 (성별, 연령별 비교)

** 성인은 비만에 대한 절대 수치가 존재하지만, 소아는 성장 증이기 때문에 각 성별, 연령별로 비교하여 비만을 진단한다.

Lumbar vertebrae 1-5

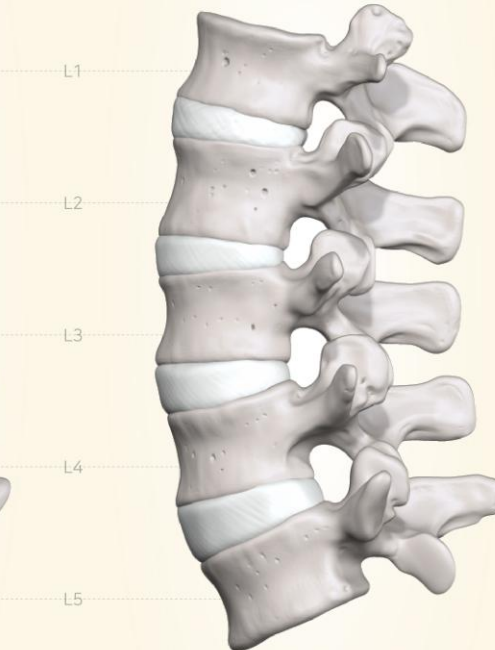
Overview

허리척추뼈 L1~5와 디스크의 구조적 특징을 파악한 후 모델링을 진행하였다.

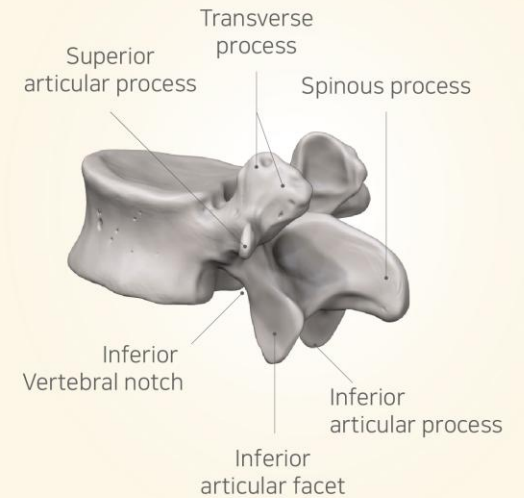
Lumbar vertebrae 1-5



<Anterior view>



<Left lateral view>



<L1 Left lateral view>

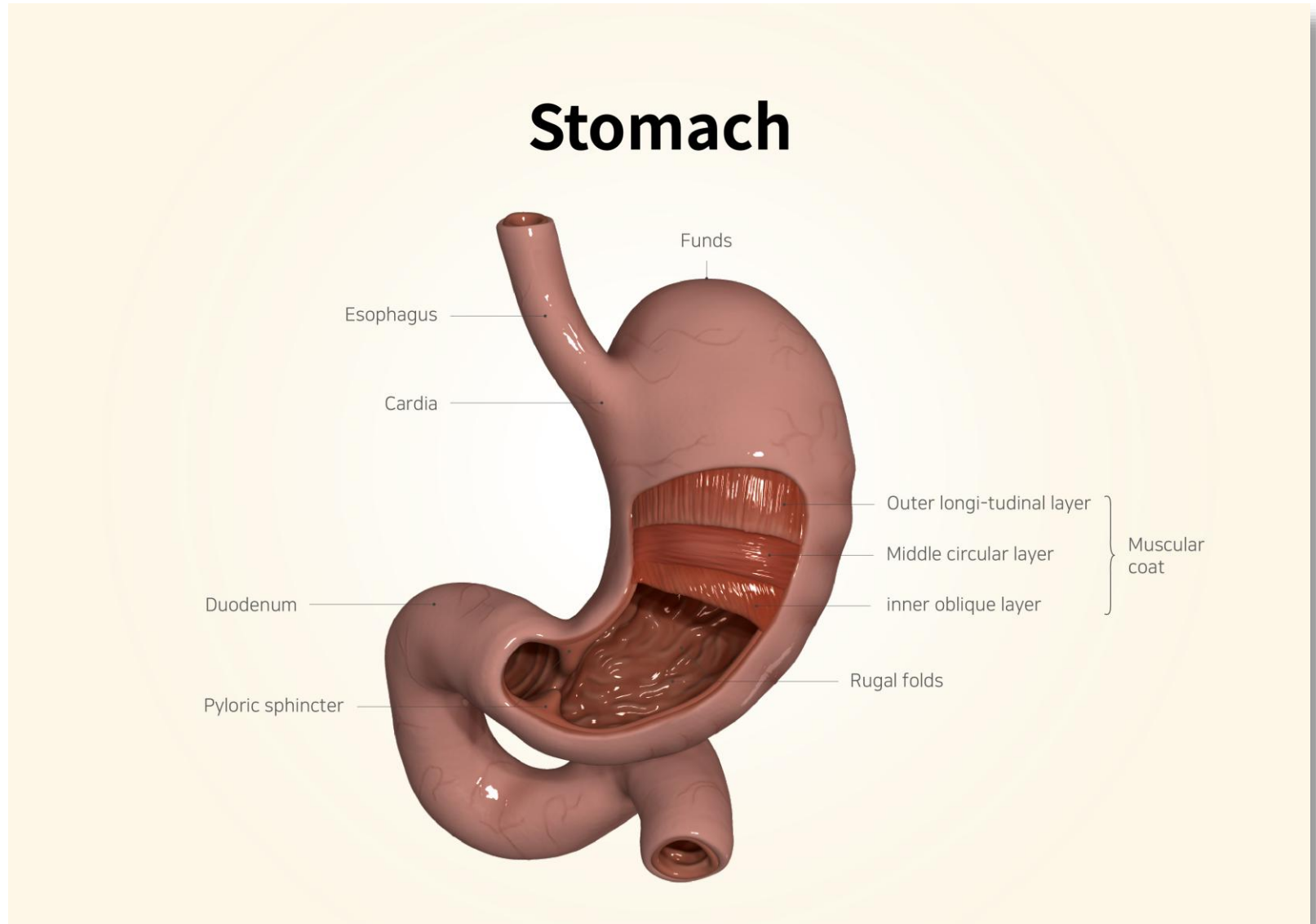
Size 297*210mm

Program Zbrush, Adobe Photoshop, Adobe illustrator

Stomach

Overview

위의 구조와 근육층의 특징을 파악한 후
모델링을 진행하였다.

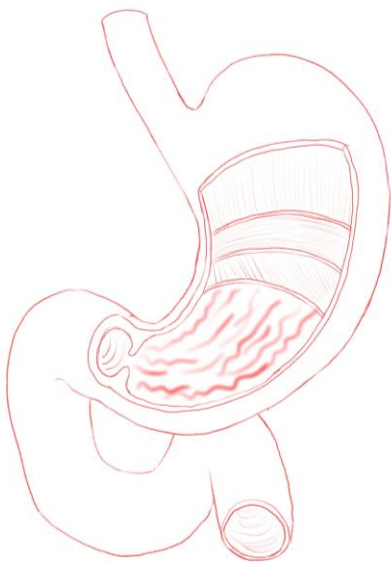


Size 297*210mm

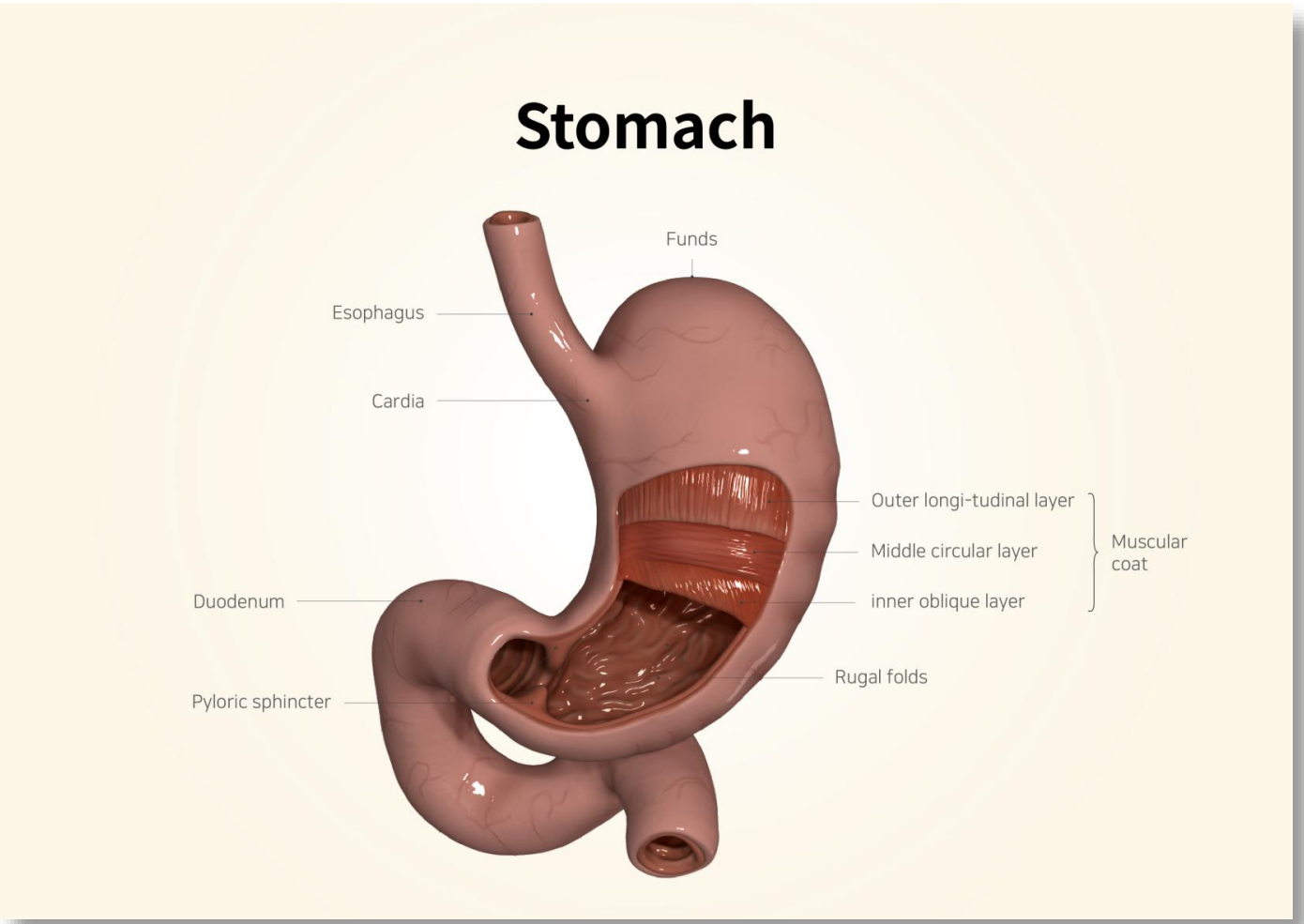
Program Zbrush, Adobe Photoshop, Adobe illustrator

Stomach

Sketch



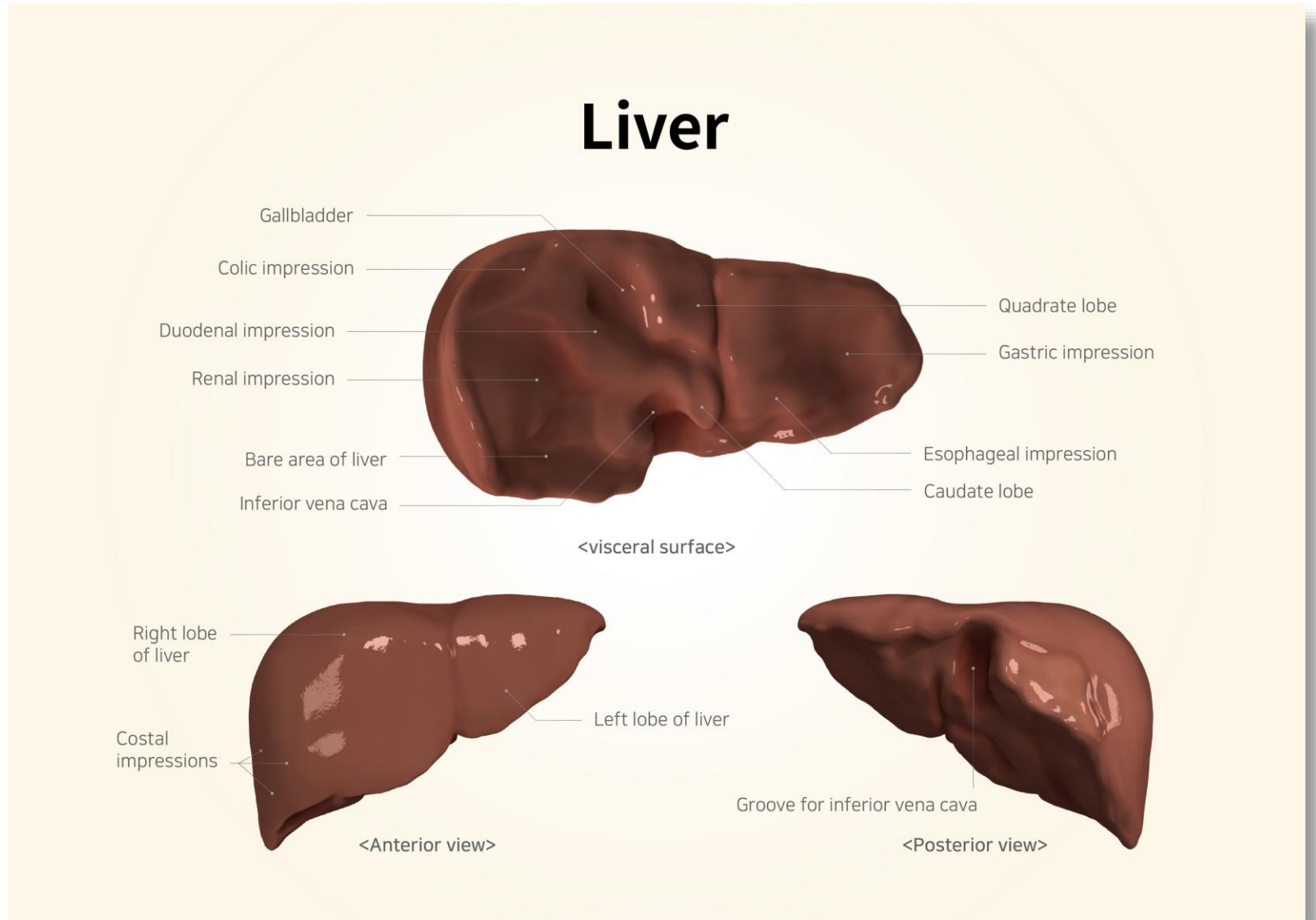
Final



Liver

Overview

간의 구조와 쓸개(담당), 정맥 등 의 위치를 고려하여 모델링을 진행하였다.



Size 297*210mm

Program Zbrush, Adobe Photoshop, Adobe illustrator

Contents II

해부일러스트레이션1

- 표본 스케치
- 표본 컬러링

해부일러스트레이션2

- 조직학 일러스트

바이오메디컬콘텐츠제작2

- 수술기구 모델링
- 저널커버아트 제작

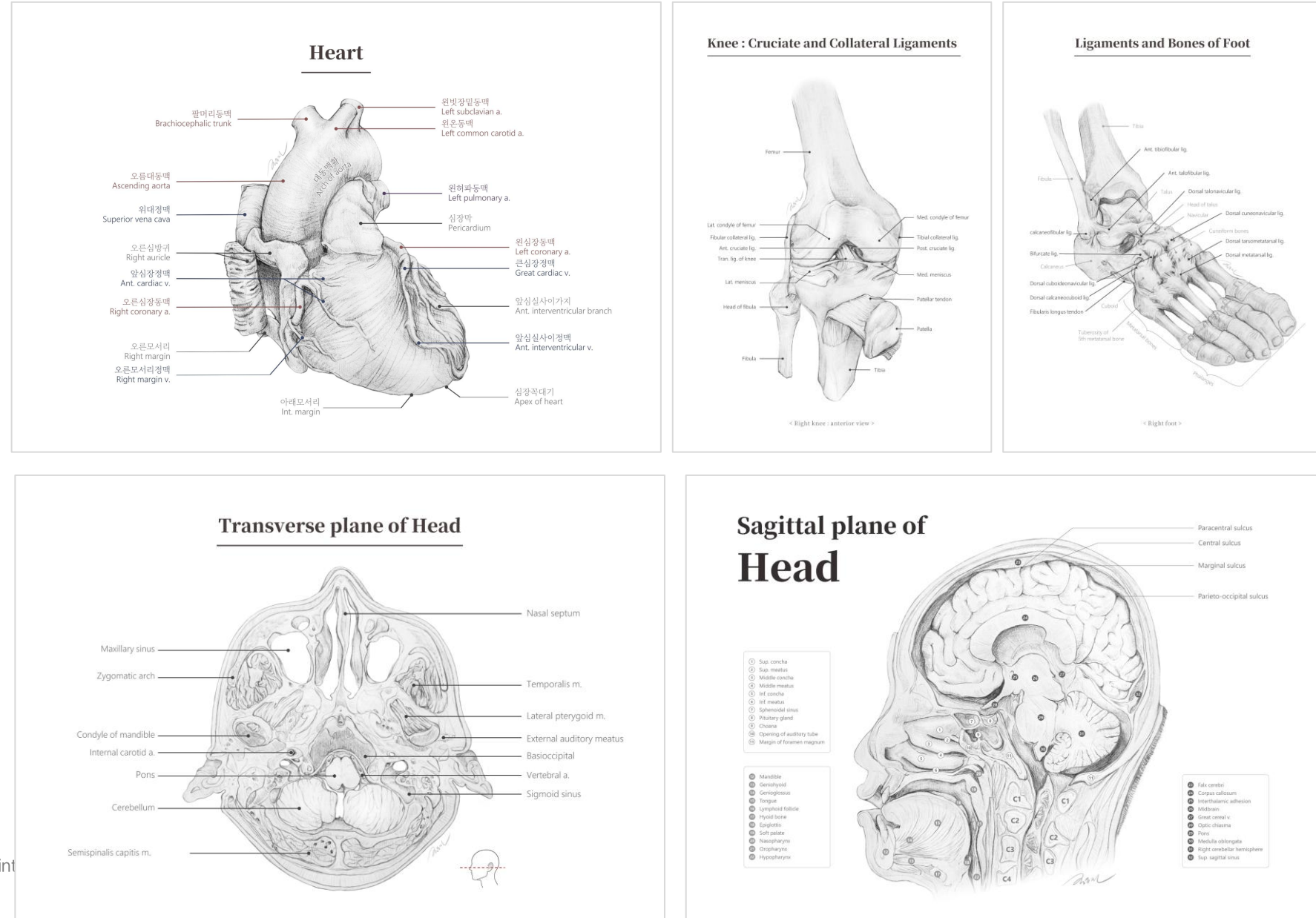
표본 스케치

Overview

실제 해부 표본을 직접 관찰하며 연필로 형태를 스케치했다. 근육의 윤곽, 층위의 깊이, 신경의 흐름을 눈으로 확인한 그대로 옮기며, 표본이 가진 고유한 구조적 특징을 해부학적으로 정확하게 담아내고자 했다.

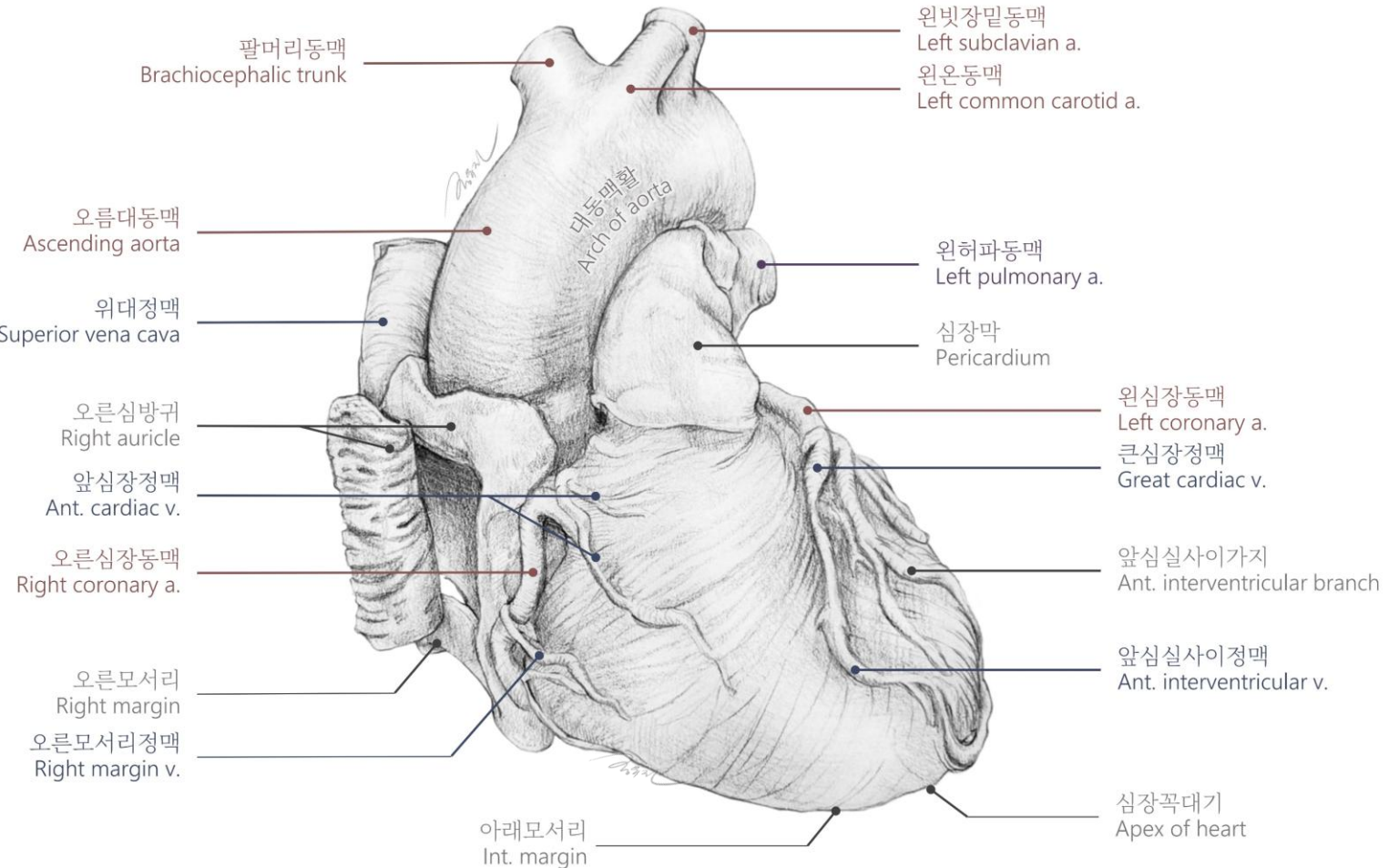
Size 297*210mm

Program HB연필, 8절 스케치북, Adobe Photoshop, Power Point



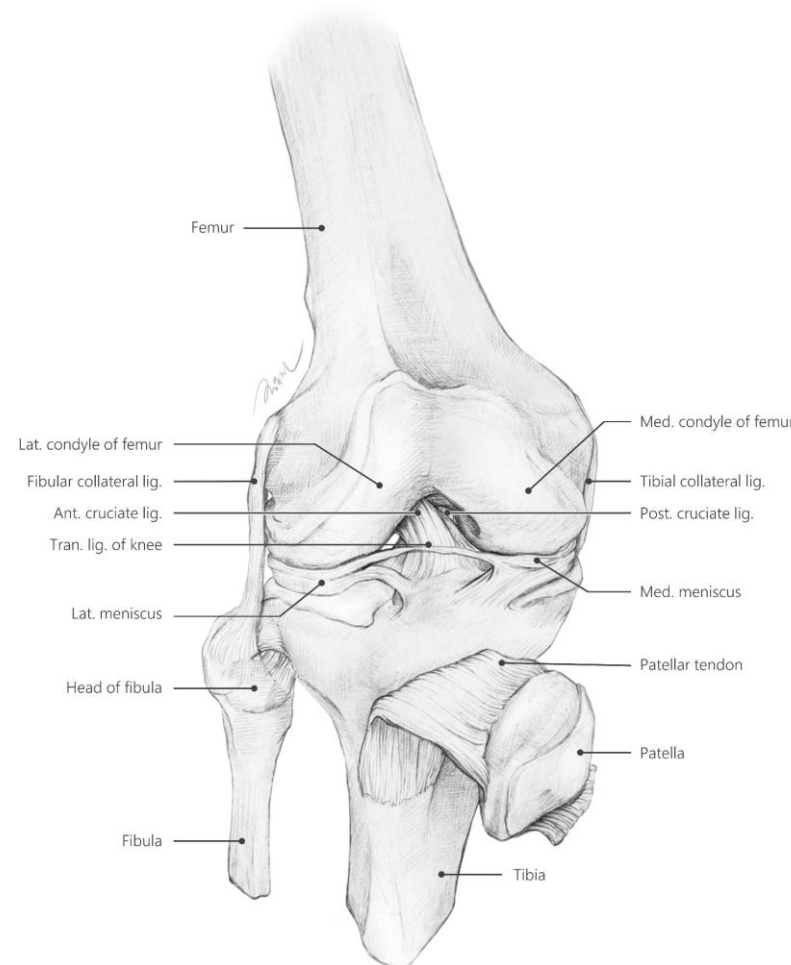
표본 스케치

Heart



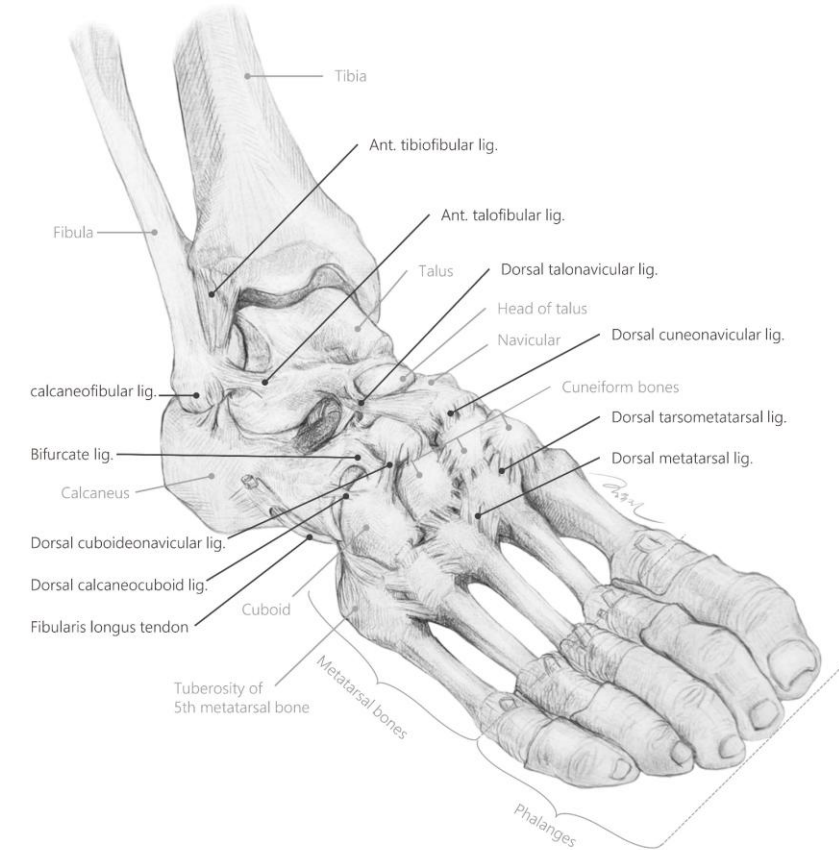
표본 스케치

Knee : Cruciate and Collateral Ligaments



< Right knee : anterior view >

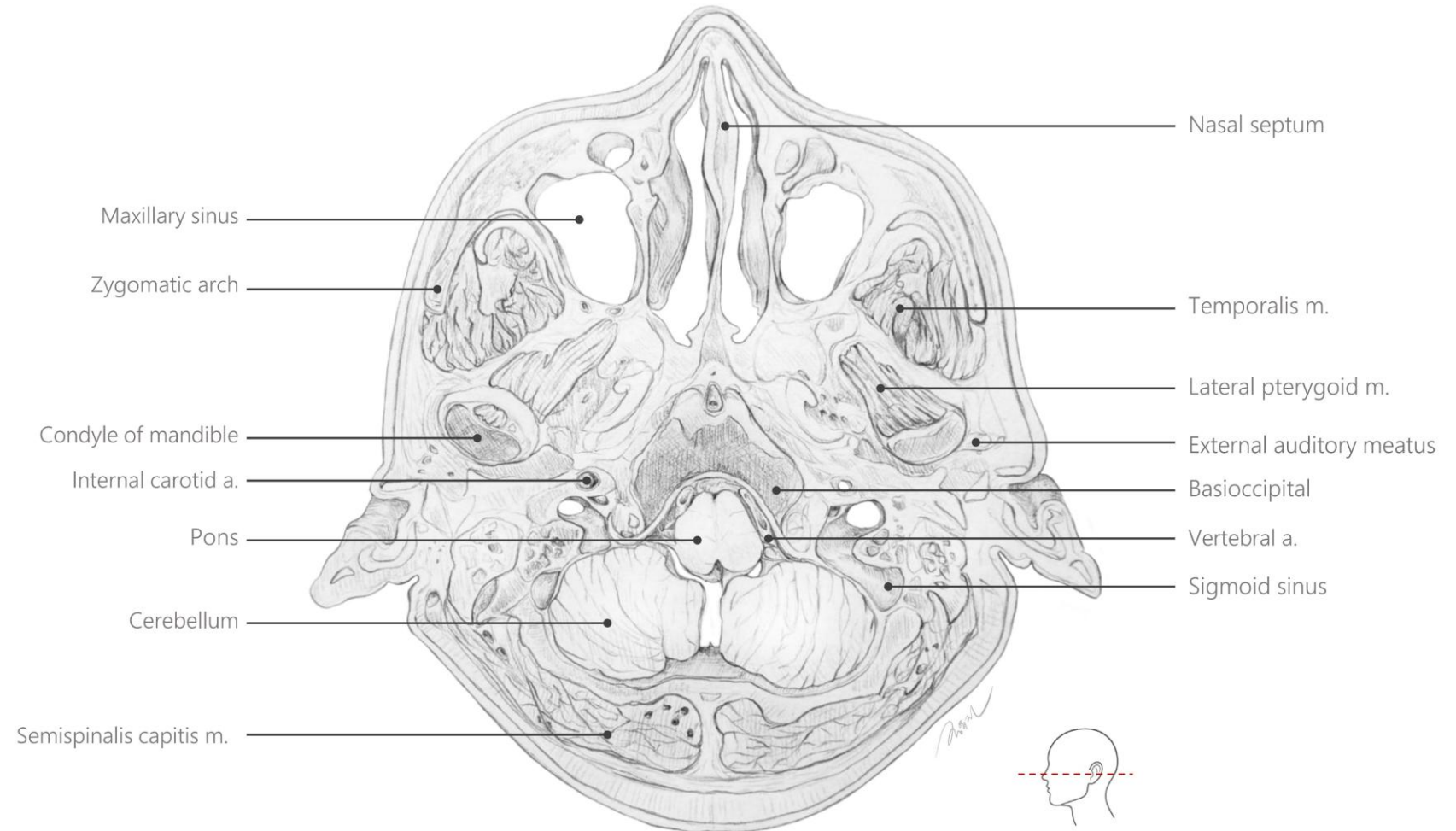
Ligaments and Bones of Foot



< Right foot >

Transverse plane of Head

표본 스케치

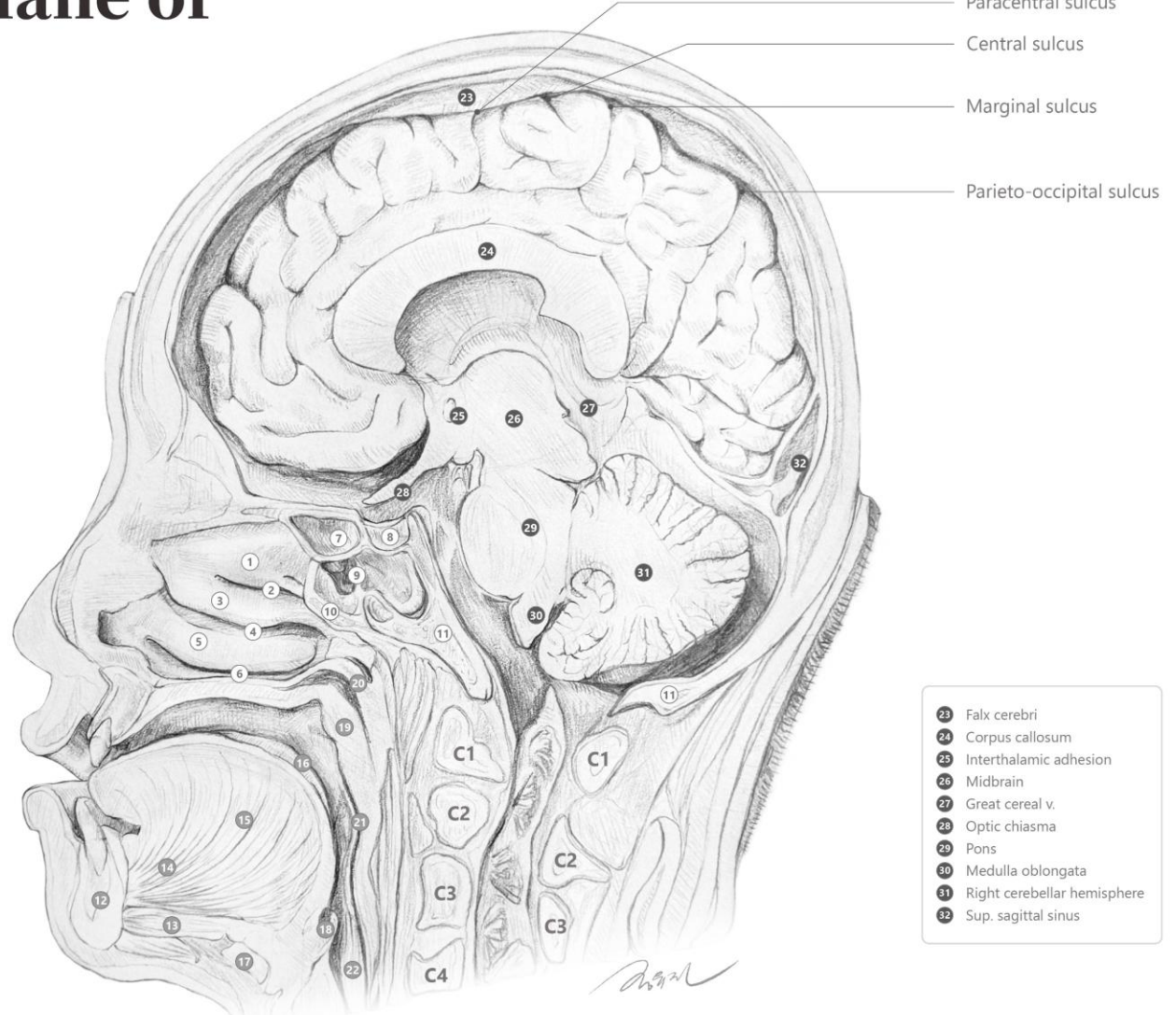


표본 스케치

Sagittal plane of Head

- ① Sup. concha
- ② Sup. meatus
- ③ Middle concha
- ④ Middle meatus
- ⑤ Inf. concha
- ⑥ Inf. meatus
- ⑦ Sphenoidal sinus
- ⑧ Pituitary gland
- ⑨ Choana
- ⑩ Opening of auditory tube
- ⑪ Margin of foramen magnum

- ⑫ Mandible
- ⑬ Geniohyoid
- ⑭ Genioglossus
- ⑮ Tongue
- ⑯ Lymphoid follicle
- ⑰ Hyoid bone
- ⑱ Epiglottis
- ⑲ Soft palate
- ⑳ Nasopharynx
- ㉑ Oropharynx
- ㉒ Hypopharynx



표본 컬러링

Overview

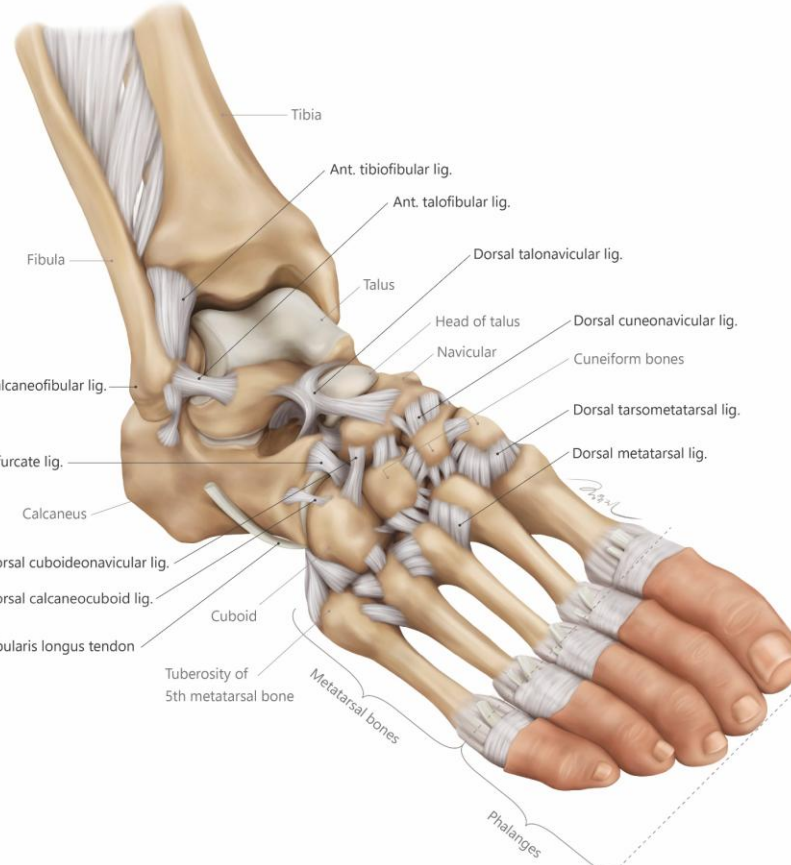
실제 해부 표본을 직접 관찰하며 연필로 형태를 스케치한 뒤, 한 점을 선정하여 컬러링 작품으로 완성했다. 표본이 지닌 조직의 특징과 질감 변화를 컬러링으로 표현하는 과정을 통해 해부학적 정보를 시각적으로 정리하고 강화했다.

Size 297*210mm

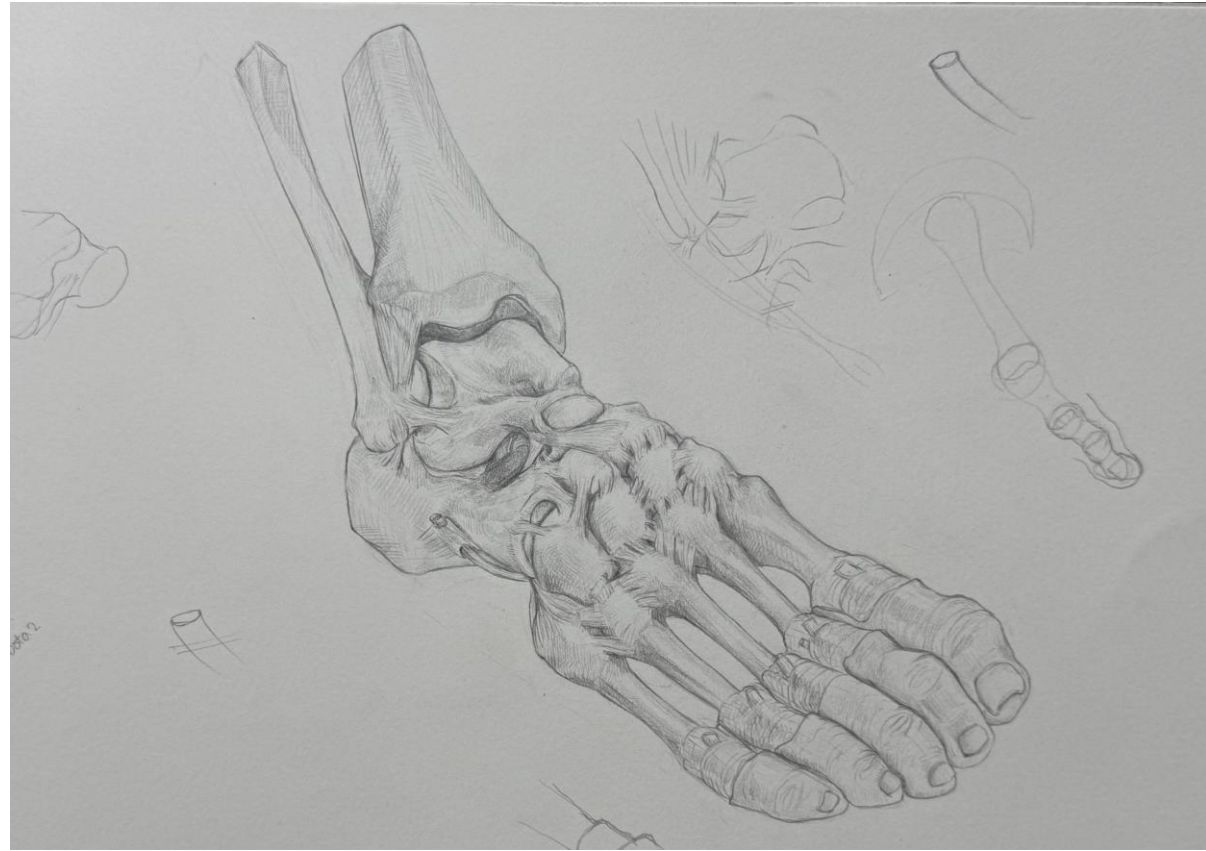
Program Procreate, Adobe illustration

Ligaments and Bones of Foot

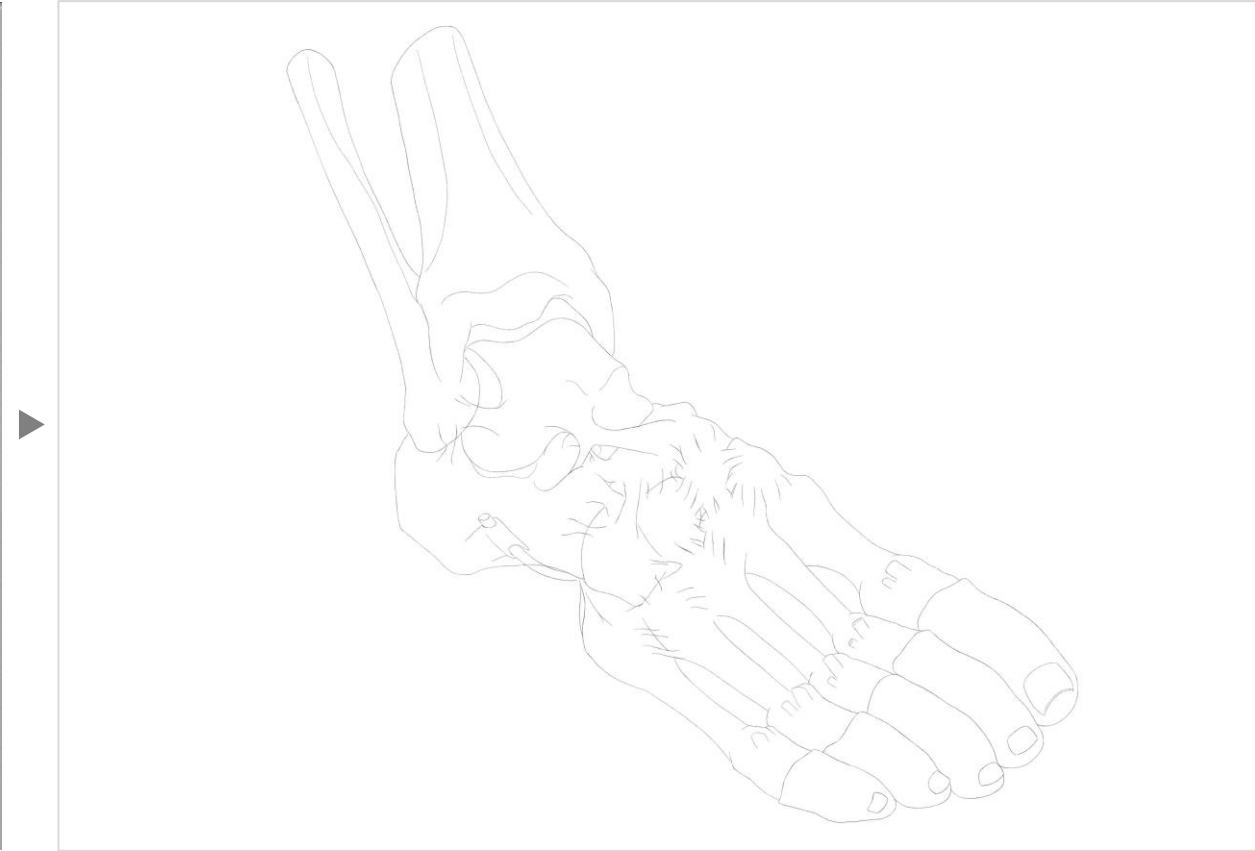
The ligaments of the foot maintain joint alignment under load and stabilize gait and propulsion.
Each ligament defines the limits of motion while preserving the structural balance of the foot.



<Right foot>



표본 연필 스케치



디지털 스케치

Ligaments and Bones of Foot

The ligaments of the foot maintain joint alignment under load and stabilize gait and propulsion.
Each ligament defines the limits of motion while preserving the structural balance of the foot.



<Right foot>

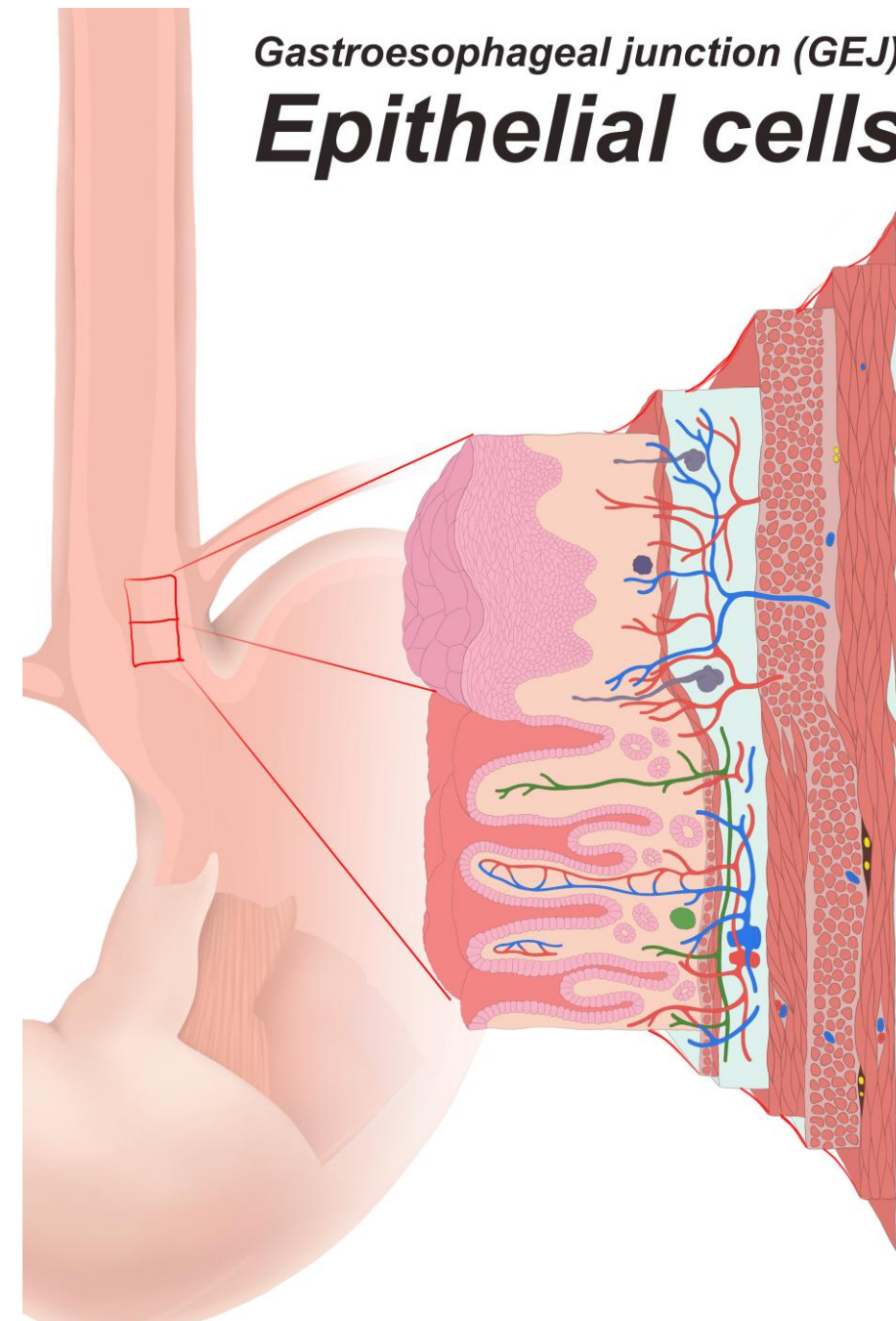
Gastroesophageal junction (GEJ) Epithelial cells

조직학 일러스트

(작업 진행 중)

Overview

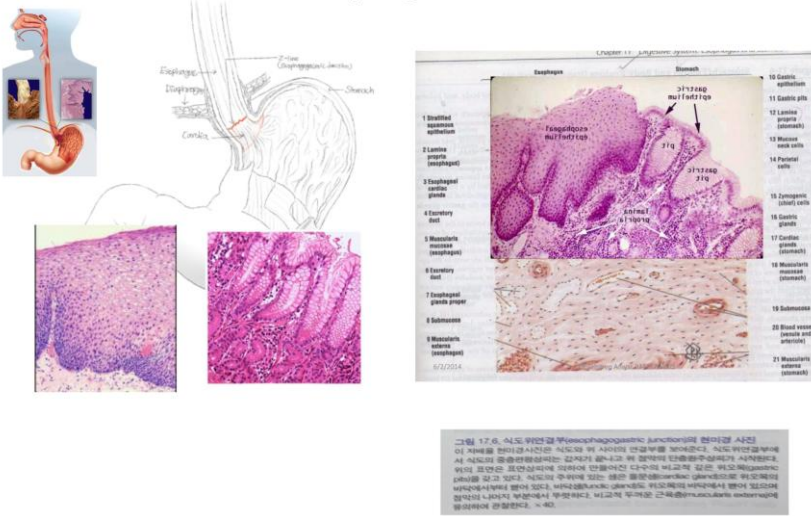
식도에서 위로 이어지는 경계 부위를 조직학적 관점에서 시각화한 일러스트이다. 서로 다른 상피 구조 (식도의 중층편평상피와 위의 원주상피) 가 만나는 지점을 중심으로 조직의 층위, 세포 배열, 점막 구조를 정교하게 표현했다. 해부학적 지식을 기반으로 세포 단위의 형태적 차이를 명확히 드러내어 소화관 미세구조의 변화가 지니는 기능적 의미를 시각적으로 전달한다.



Size 297*420mm

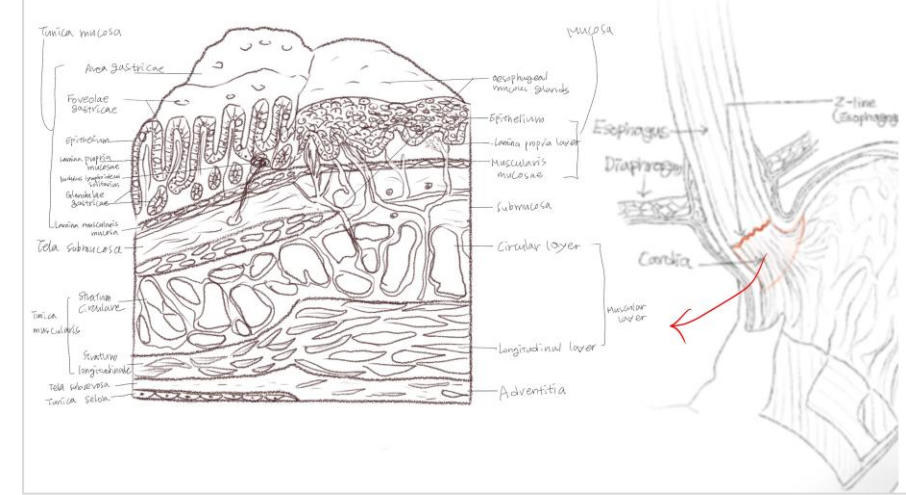
Program Procreate, Adobe illustration

Junction of between to Esophagus and Stomach

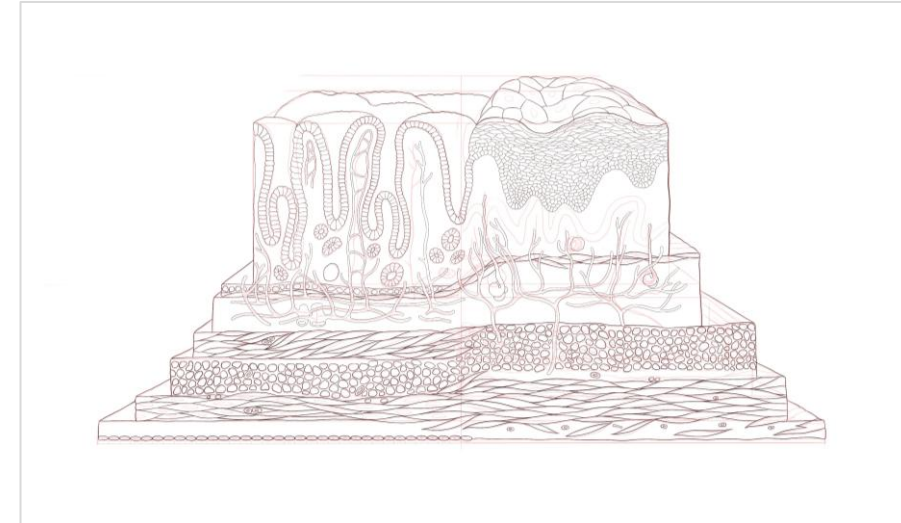
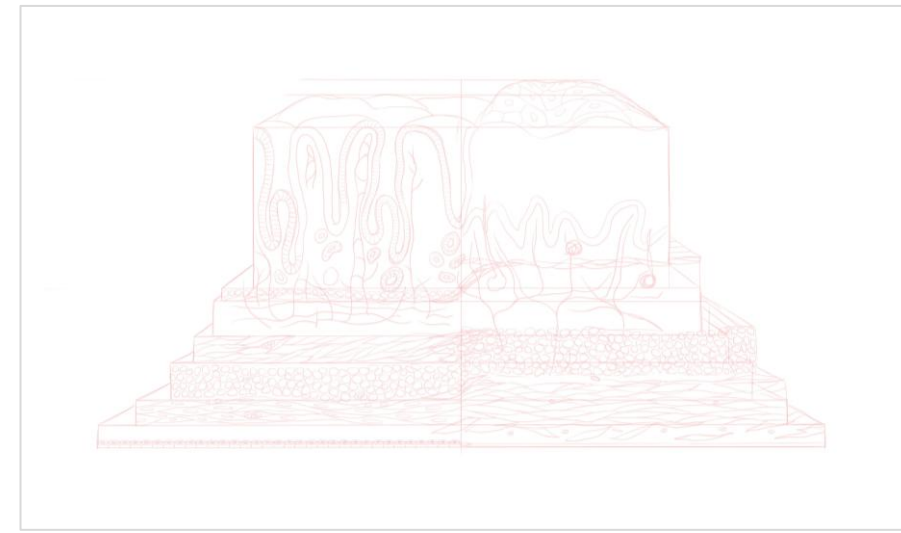
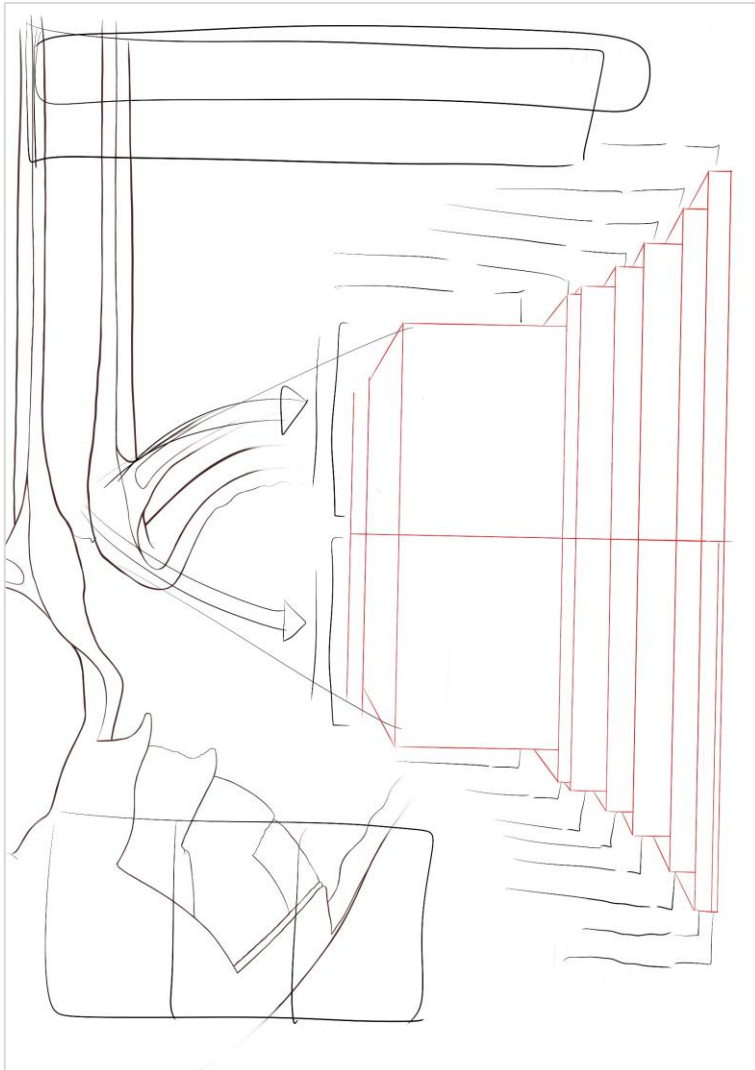


1차 스케치

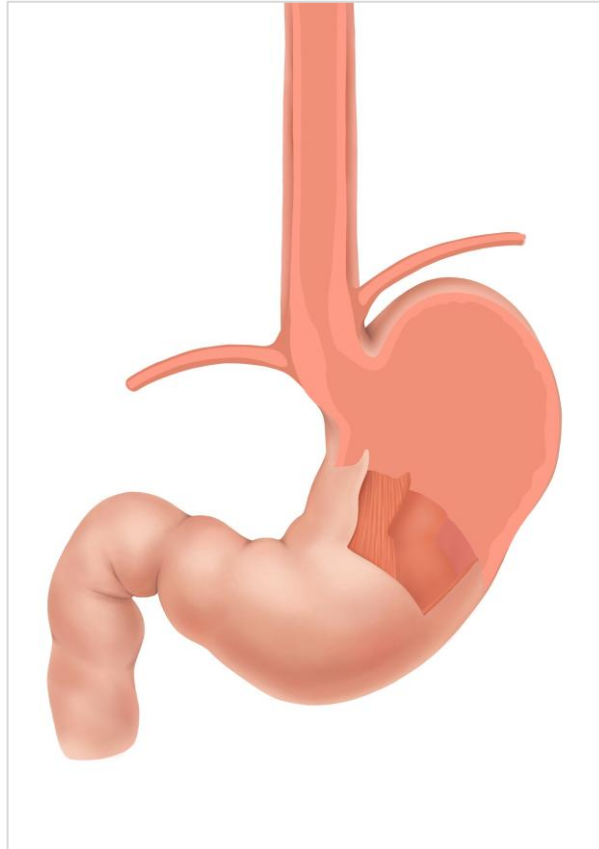
Junction of Esophagus and Stomach



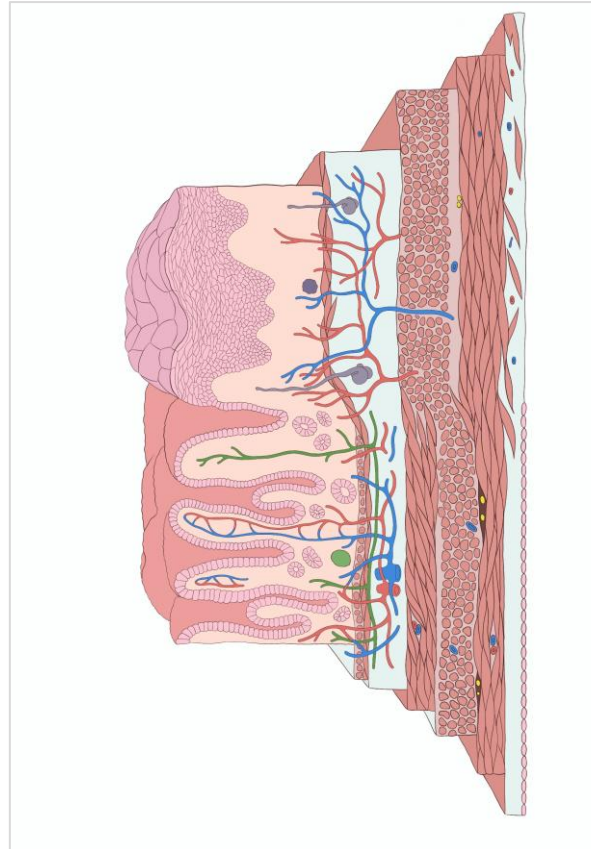
3차 스케치



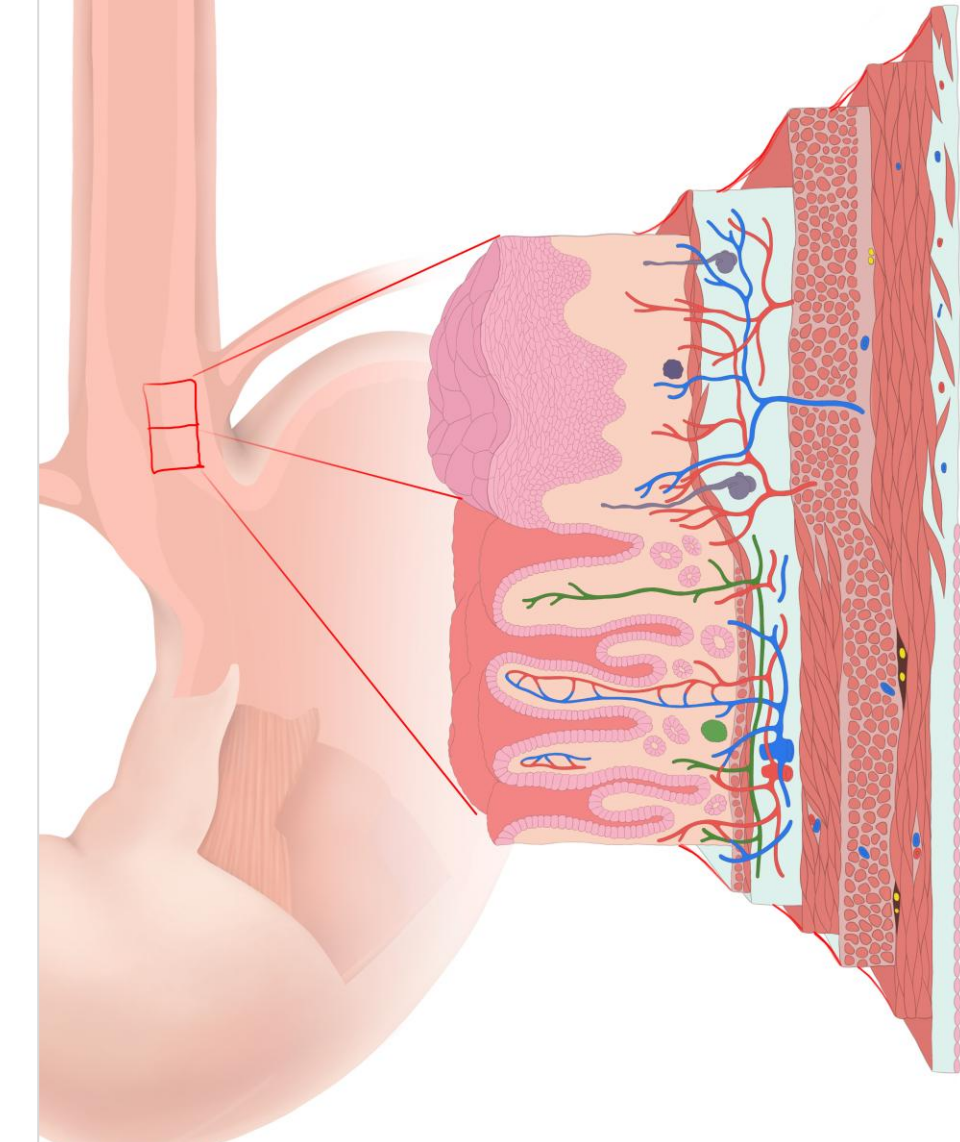
4차 최종 스케치



컬러링 작업 진행 중



Gastroesophageal junction (GEJ)
Epithelial cells



수술기구 모델링

Overview

정형외과에서 사용되는 기본 수술기구들을 3D 모델링으로 재구성하여 포스터 형태로 제작한 작업이다. Blender를 활용해 실제 기구의 질감, 금속 표면의 반사광, 사용감이 느껴지는 형태적 디테일을 재현했다. 도구의 구조와 기능이 한눈에 들어오도록 조명과 구도를 설계하여, 기술적 사실성과 조형적 완성도를 추구한 작품이다.

Basic Surgical Instruments of Orthopedic

Orthopedic surgery relies on specialized instruments designed to expose, shape, and refine bone and surrounding tissues with precision.



Size 420*279mm

Program Blender 4.5v, Adobe Photoshop

Basic Surgical Instruments of Orthopedic

Orthopedic surgery relies on specialized instruments designed to expose, shape, and refine bone and surrounding tissues with precision.



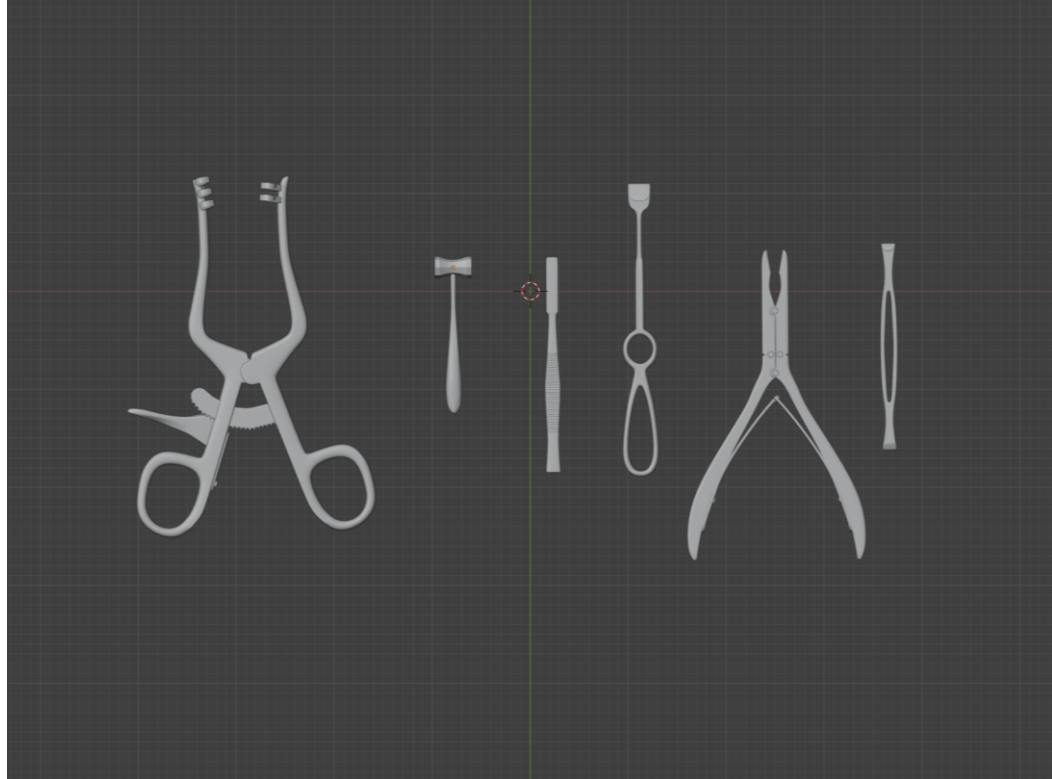
Bright version

Basic Surgical Instruments of Orthopedic

Orthopedic surgery relies on specialized instruments designed to expose, shape, and refine bone and surrounding tissues with precision.

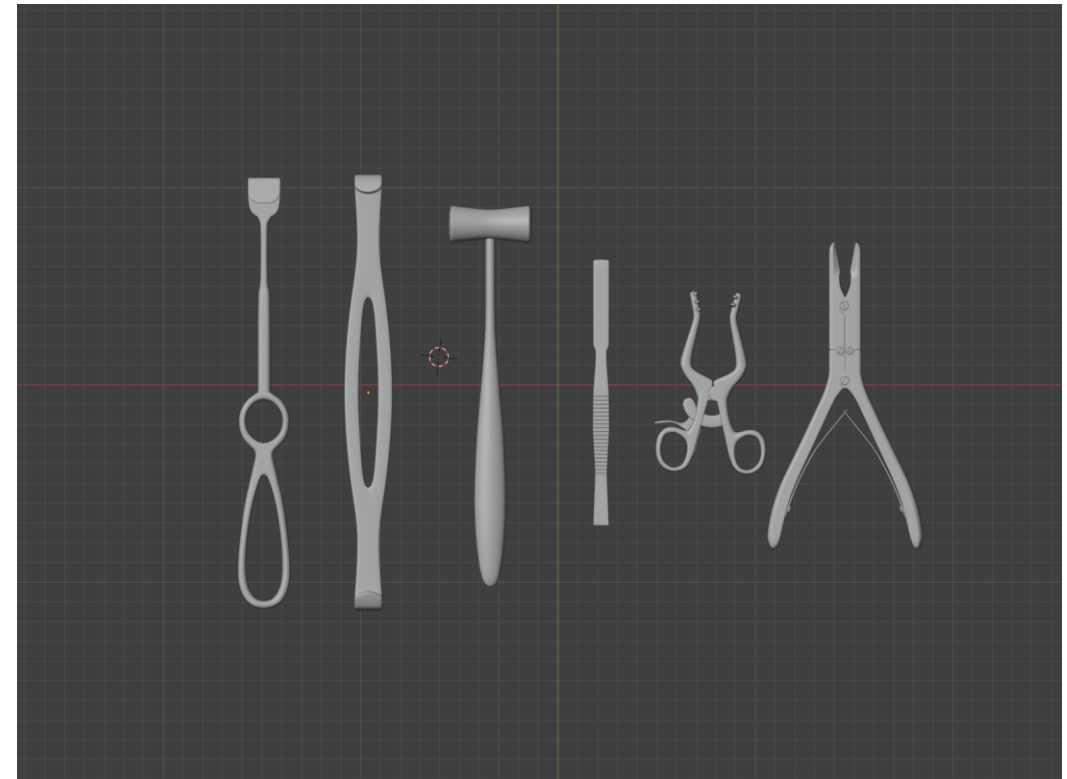


Dark version



1차 모델링

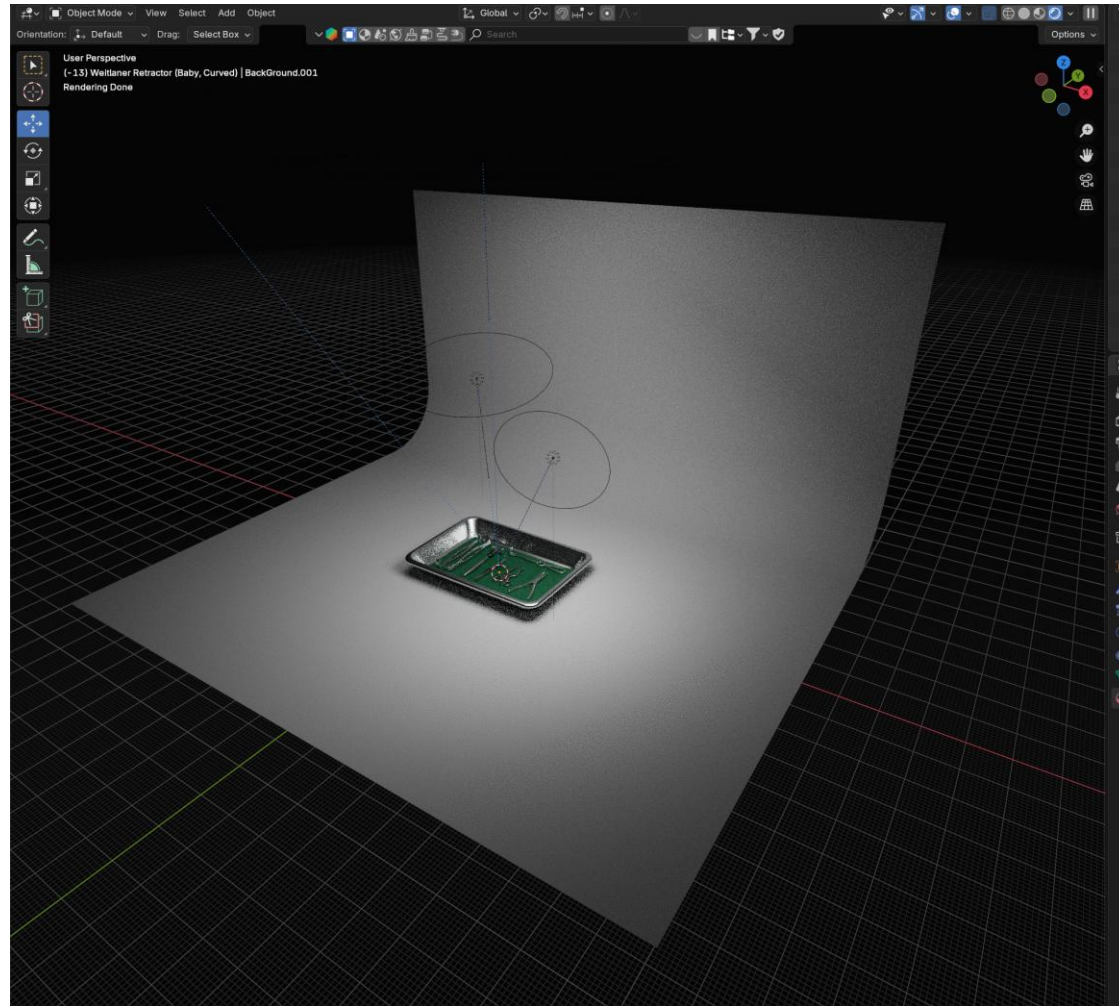
수술기구의 크기를 고려하지 않아 비율적으로 맞지 않는 문제 인식



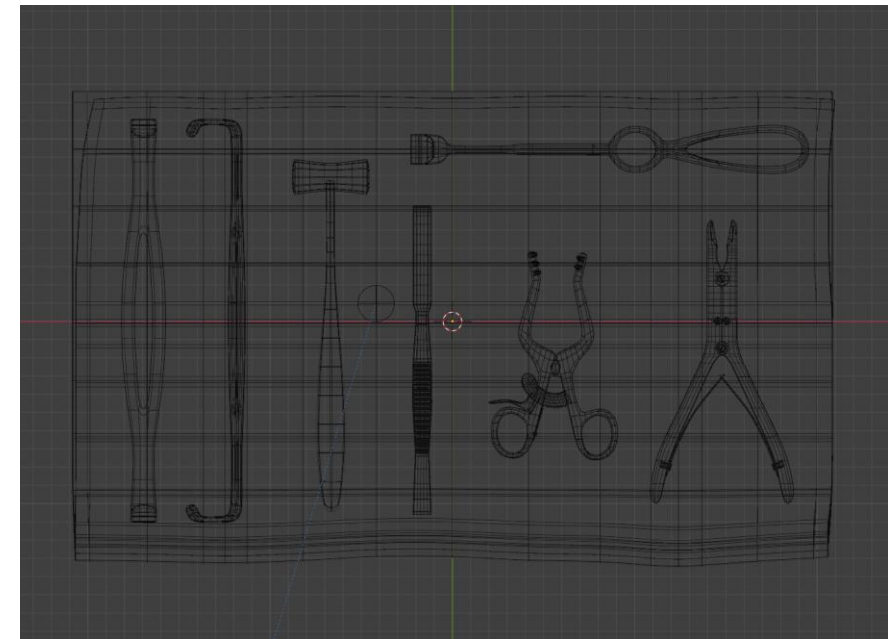
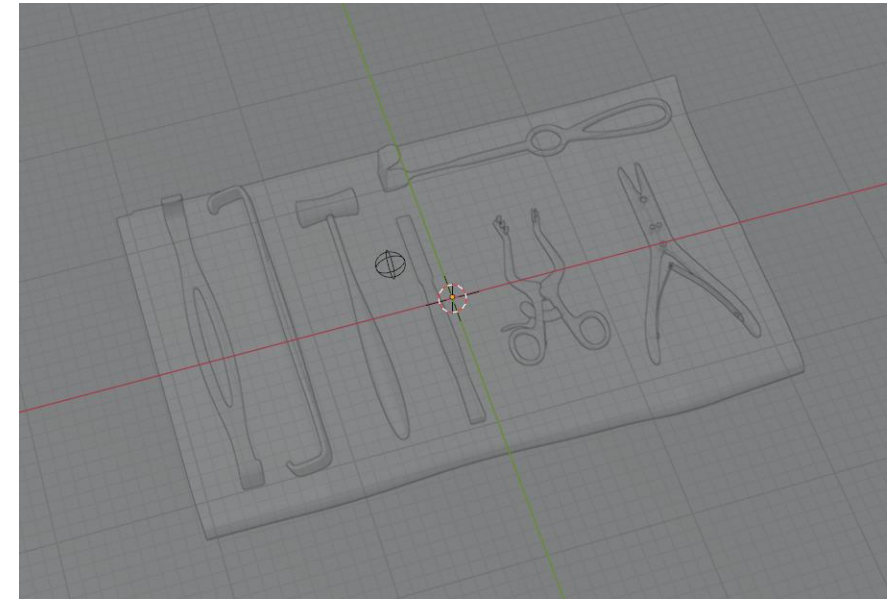
최종 모델링

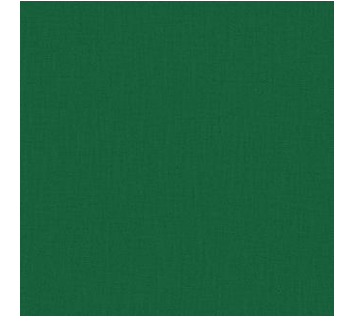
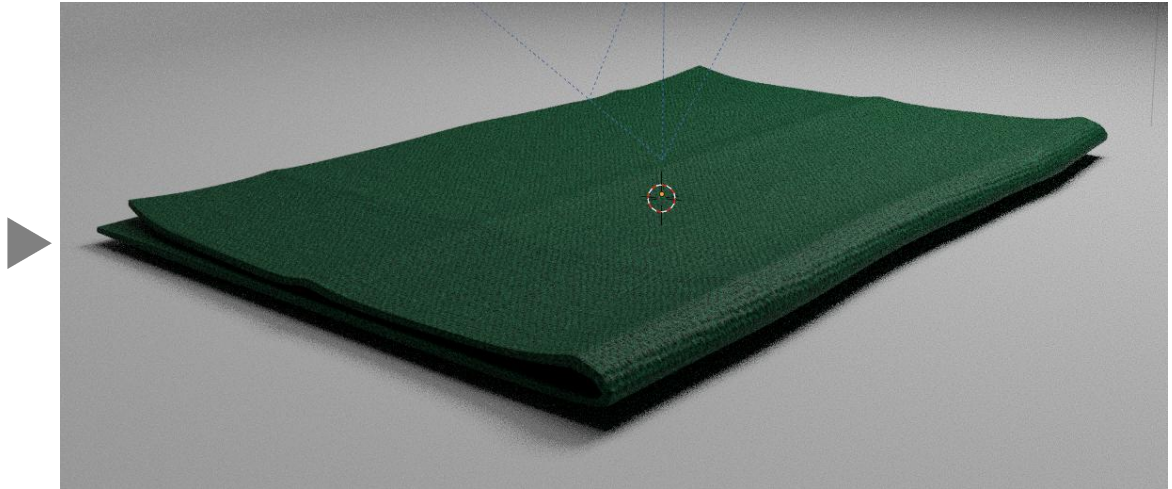
실제 수술기구의 크기를 확인하여 비율을 고려한 모델링 재제작

BIOMEDICAL ART 10th



카메라, 조명 셋팅





Detail 수술포의 접은 형태를 반영하여 모델링 제작, 질감은 거친 린넨 사용

Pilling 164715 Army-Navy Retractors
Pilling

\$25.00

Buy now and pay later with [PayPal](#) [Learn more](#)

[Write a Review](#) (No reviews yet)

SKU: AB-PIL-164715
Condition: Used
Availability: Ships in 24 hours
Weight: 5.00 Ounces
Shipping: Calculated at Checkout

Current Stock: 1

Quantity:

Army-Navy Retractor (Front/Side)

21.5cm

표층 조직을 수동으로 견인해 기본적인 수술 노출을 확보한다.

Millennium 1-608 Weitlaner Retractor, Sharp, 4.25"
Millennium

\$25.00

Buy now and pay later with [PayPal](#) [Learn more](#)

[Write a Review](#) (No reviews yet)

SKU: AB-MIL-1608
Condition: Used
Availability: Ships in 24 hours
Weight: 1.00 Ounces
Shipping: Calculated at Checkout

Weitlaner Retractor (Baby, Curved)

10.8cm

소절개 부위의 연부조직을 벌려 수술 시야를 안정적으로 유지한다.

코허-랑겐벡 견인기

가격: ₩48,000 30개월
유형: 원연 기준
길이: 21.5cm
입: 80mm x 16mm
공급업체: 아메리 수술 도구 주식회사
상품번호: KOC-S7579-INS-21-B0M
유통상: 재고 있음
수량:

[장바구니에 담기](#) [Buy with shop](#) [위시리스트에 추가](#)

Langenbeck Retractor

21.5cm

깊은 층의 조직을 견인해 뼈와 관절 부위를 노출한다.

Surgical Ruskin Rongeur, Double Action, SPEI-126
6" (15.2 cm) long, 3 mm bite, straight jaws

Industry Price: \$322.00
SurgiPro Price: \$214.95

SKU: SPEI-126

Quantity:

[ADD TO CART](#)

49 customers are viewing this product

[Facebook](#) [Twitter](#) [LinkedIn](#) [Pinterest](#)

Ruskin Rongeur (Double Action)

15.2cm

뼈 조각이나 불필요한 골편을 제거해 수술 부위를 정리한다.

루카에 본 망치

가격: ₩12만원

지름: 19mm(230g) 25mm(260g)

공급업체: 아메리 수술 도구 주식회사

상품번호: LUC-6401-19M

유통상: 재고 있음

수량:

[장바구니에 담기](#) [Buy with shop](#) [위시리스트에 추가](#)

Lucae Mallet

19cm

절삭 기구에 정밀한 타격을 가해 뼈에 힘을 전달한다.

Bone Osteotome

SURTEK® Bone Osteotome is an orthopedic surgical device that surgeons commonly use to cut, carve and reshape bone tissues, in order to collect grafting material or to repair collapsed joints.

- Atraumatic Beveled Blade for Avoiding Local Injury.
- Resilient Impacting Platform for Enhanced Mallet Action.
- Ergonomic Solid Handle for Maximum Control.

SELECT WORKING END SIZE [Choose an option](#)

SELECT SURTEX CODE [Choose an option](#)

[Need A Quote?](#)
Contact our Live chat or call us through Skype or on +44 (0) 208 123 3013
Or submit the form below for a quick quote!

Osteotome / Bone Chisel

13.5cm

뼈를 절삭하거나 형태를 조정하기 위해 사용된다.





1차 렌더링 이미지



2차 렌더링 이미지



3차 렌더링 이미지(최종)

Basic Surgical Instruments of Orthopedic

Orthopedic surgery relies on specialized instruments designed to expose, shape, and refine bone and surrounding tissues with precision.

Basic Surgical Instruments of Orthopedics

기본 정형외과 수술 기구

Orthopedic surgery relies on specialized instruments designed to expose, shape, and refine bone and surrounding tissues with precision.

정형외과 수술은 뼈와 연부조직을 정확하게 노출하고, 절삭하며, 힘을 전달하고, 불필요한 골편을 제거하는 기구들에 의해 이루어진다.



저널커버아트

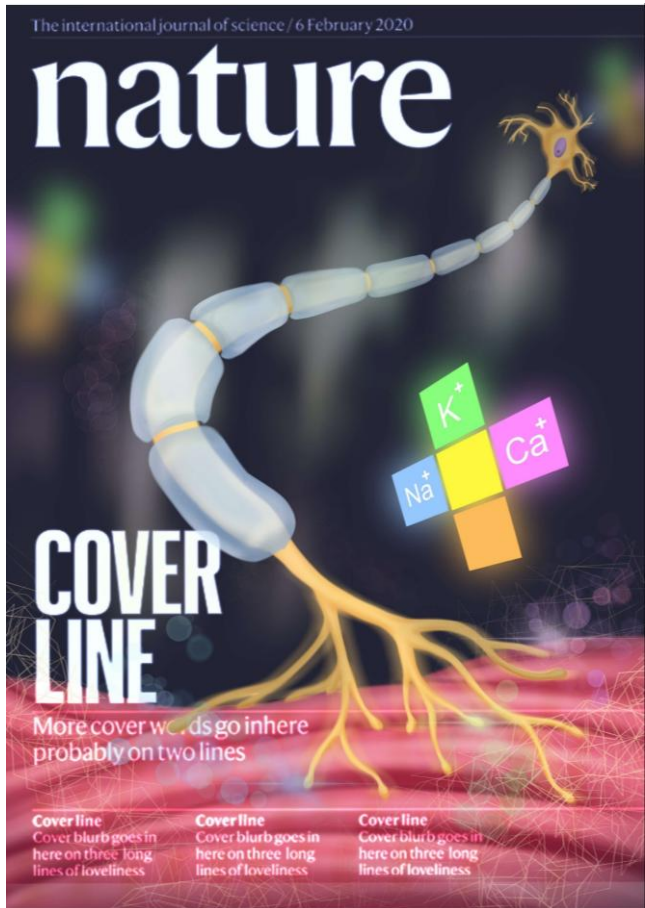
Overview

신경근접합부(NMJ)의 생리적 작용을 창의적인 비유로 풀어낸 저널 커버 아트이다. 신경세포의 축삭말단을 '발'로, 근육세포 표면을 '펌프 게임 발판'으로 설정하여, 칼슘·나트륨 이온 펌프 작용을 게임처럼 표현했다. Blender로 제작한 요소들을 조합해 생물학적 과정을 시각적 은유로 재해석했으며, 학술적 내용과 놀이적 요소가 조화롭게 어우러지도록 디자인했다. NMJ의 역동성을 유머러스하게 담아낸 실험적 시각화 작품이다.

Size 420*279mm

Program Blender 4.5v, Adobe Photoshop

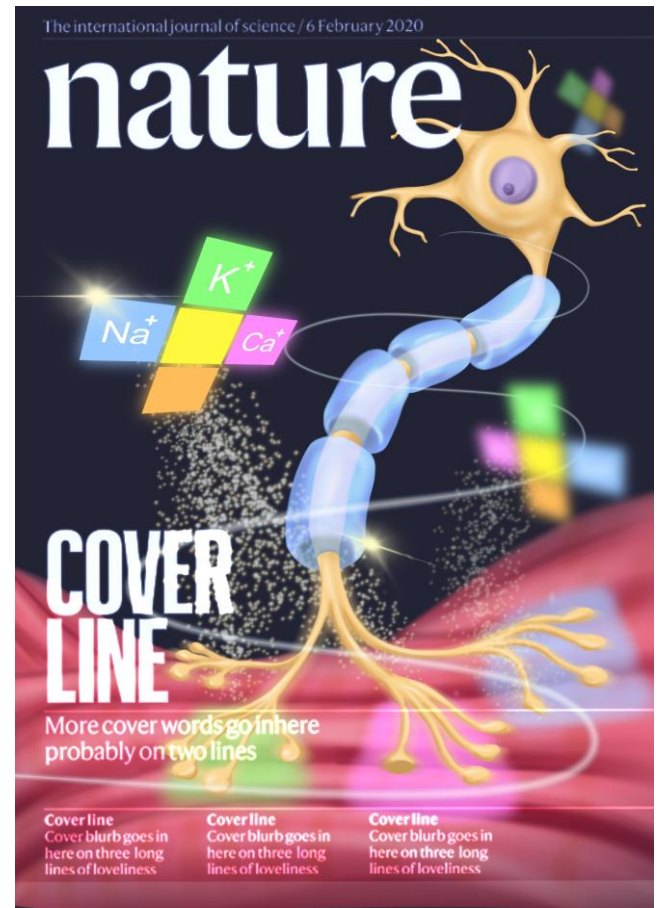




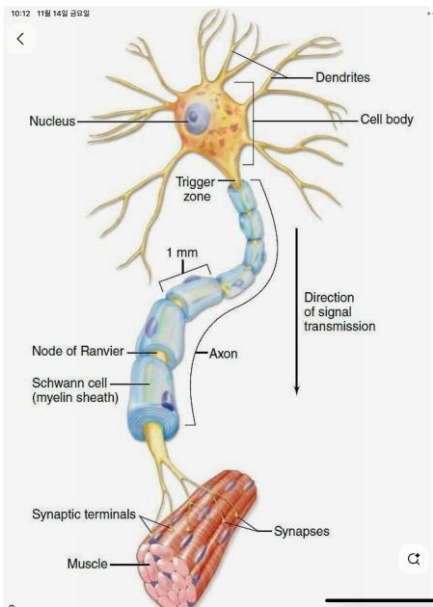
1차 스케치



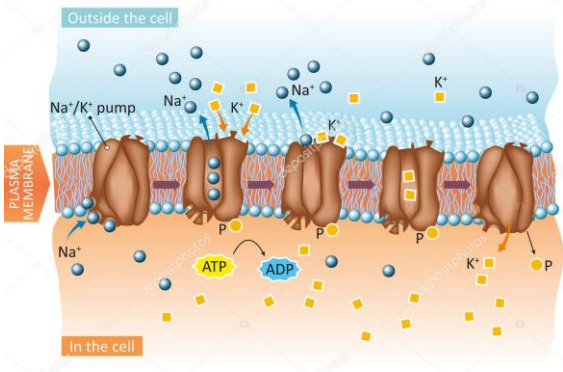
2차 스케치



3차 스케치(최종)

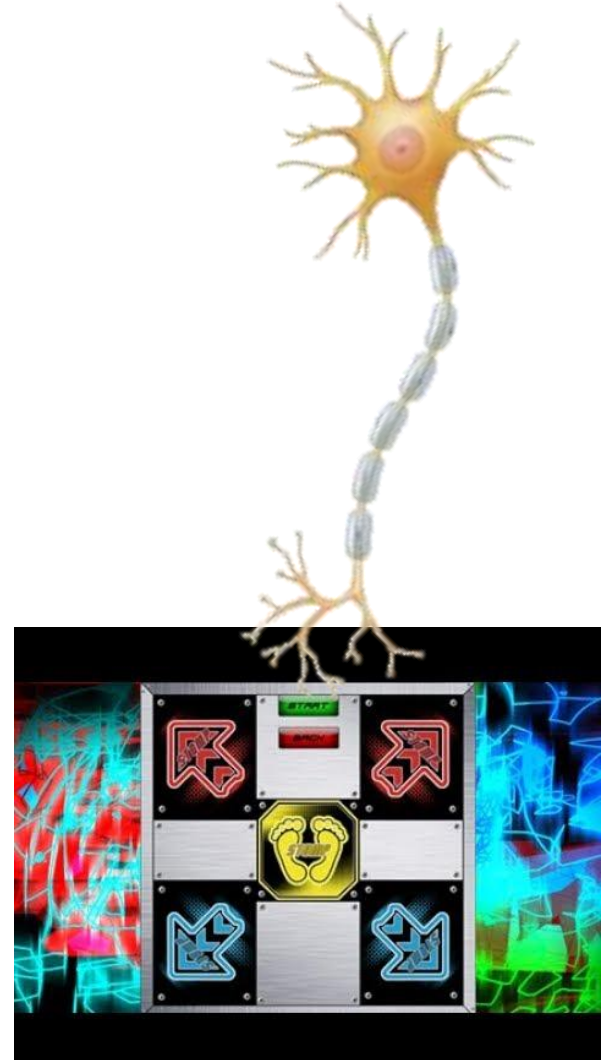


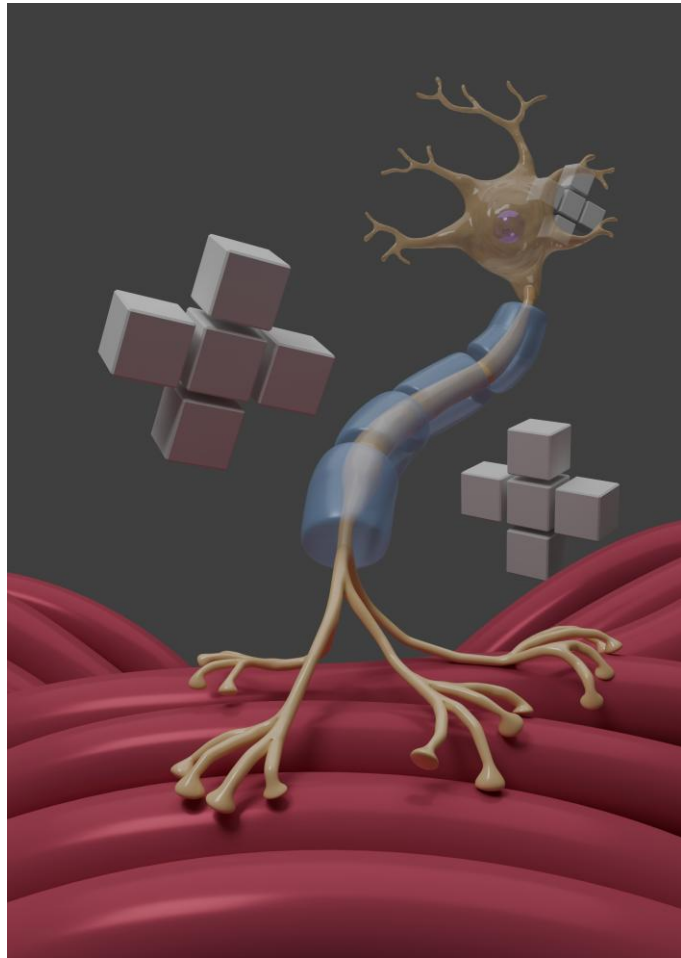
SODIUM-POTASSIUM PUMP



depositphotos

Image ID: 568581026 | www.depositphotos.com

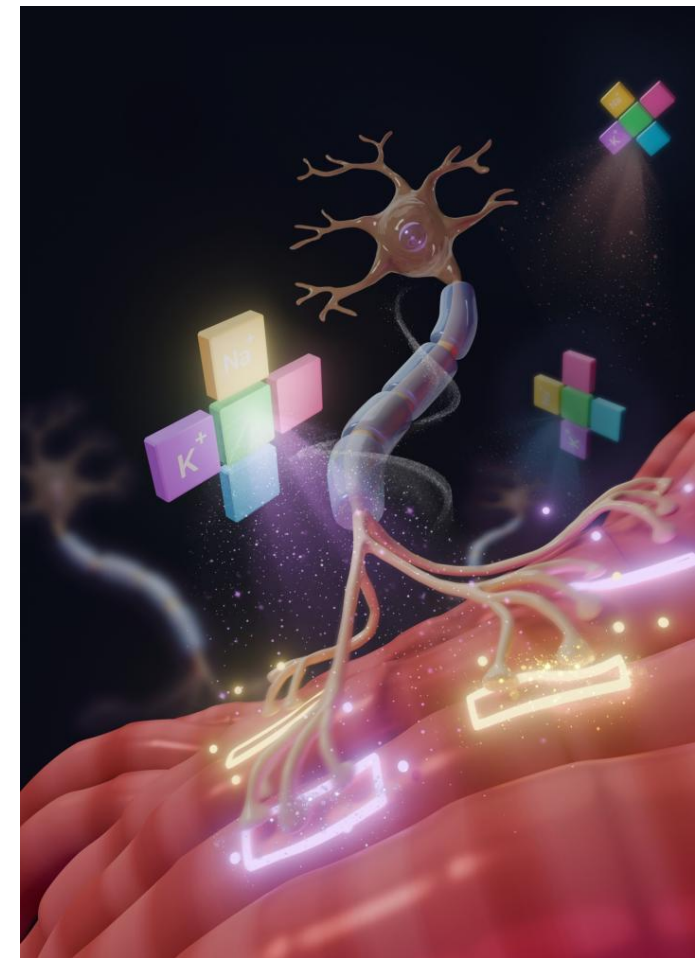




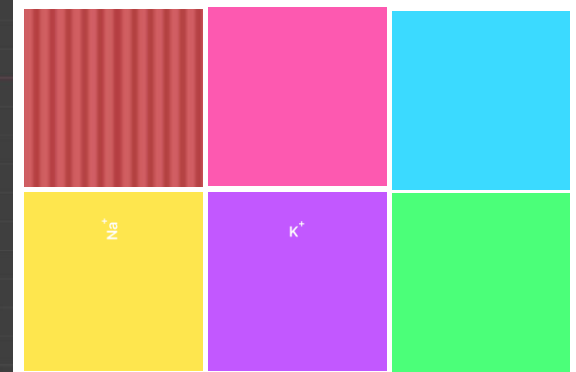
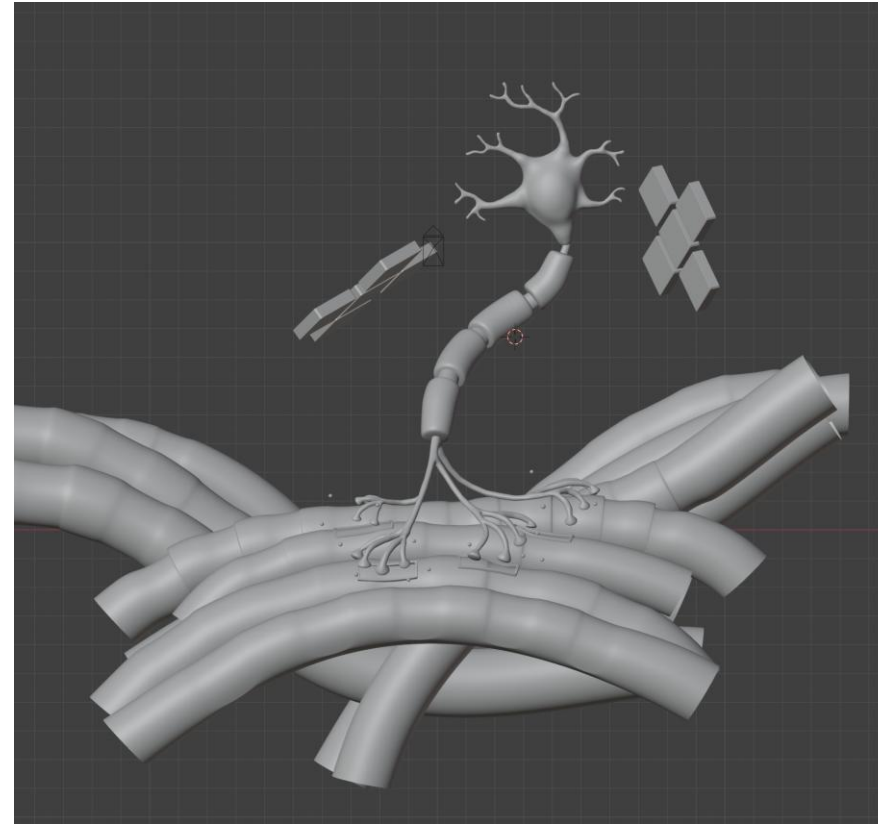
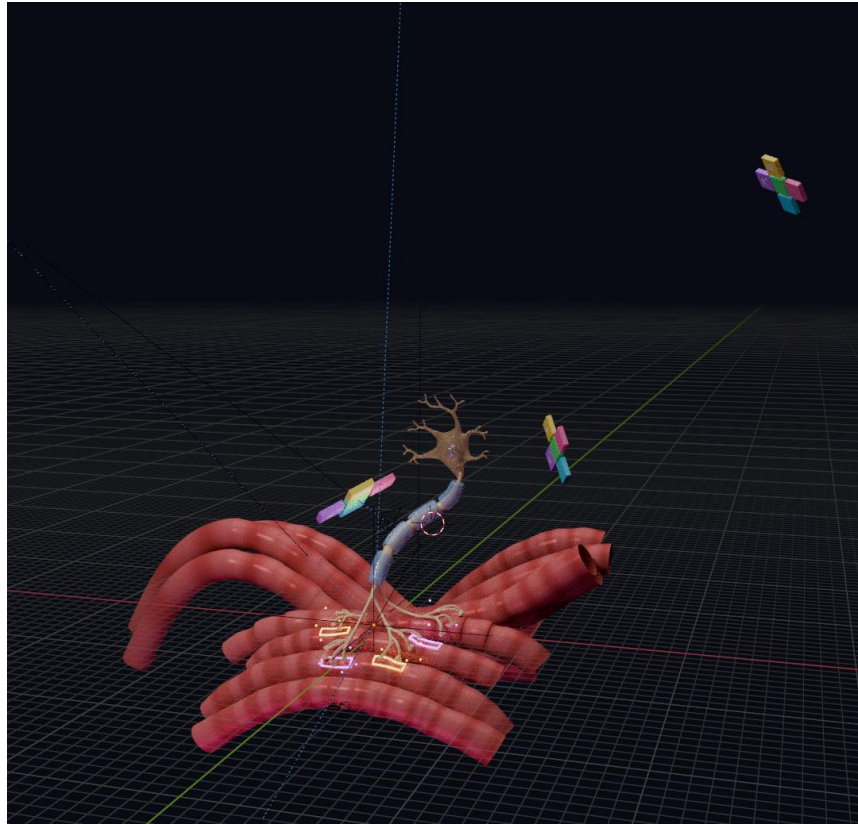
1차 렌더링

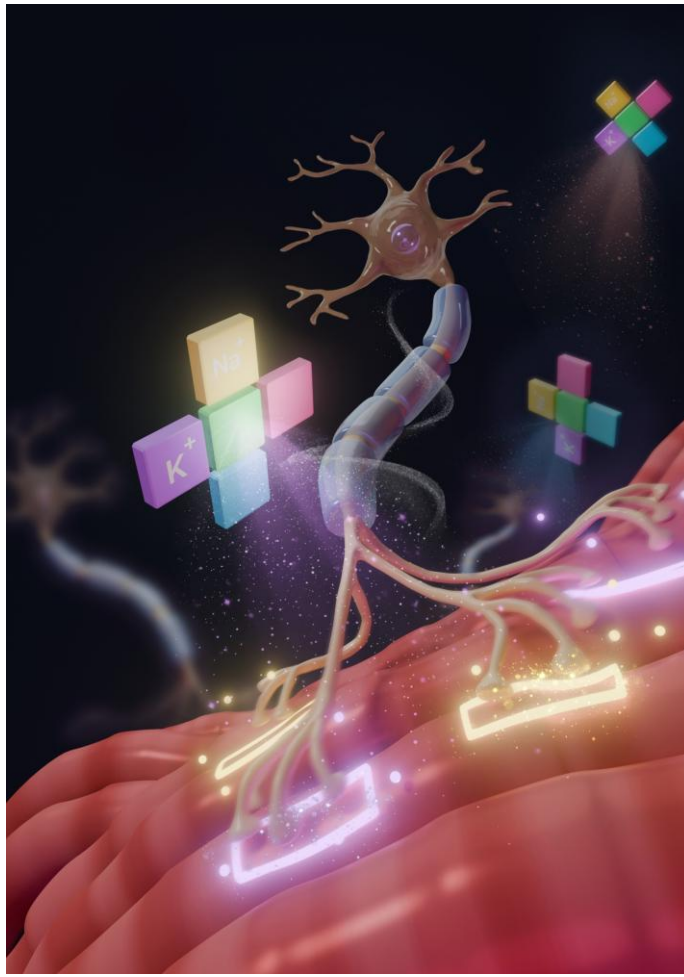


2차 렌더링



3차 렌더링(최종)





The international journal of science/15 December 2025

nature

ELECTROGENIC CONTROL

The Na^+/K^+ pump orchestrates excitability and precision at the motor neuron-muscle interface.

Ionic Gradient Control

The Na^+/K^+ pump maintains membrane polarity at the neuromuscular junction.

Signal Fidelity

Ion exchange ensures precise transmission between neuron and muscle.

System Stability

Ionic imbalance disrupts neuromuscular function and health.



THANK YOU

JEONG YU JIN